

La Recherche du Higgs au TeVatron

Phénoménologie du Higgs

- Modèle Standard
- Modèle Supersymétrique Minimal
- Stratégies de recherche

Recherche directe du Higgs

- Outils d'analyse
- Canaux standard
- Canaux supersymétriques
- Perspectives

Recherche indirecte du Higgs

- Observables
- Les Mesures de précision
- Perspectives

Phénoménologie du Higgs au TeVatron

1. Higgs dans le Modèle Standard

2. Higgs dans le MSSM

Le Higgs dans le Modèle Standard

Le Higgs dans le Modèle Standard (MS)

- Echelle de brisure de symétrie électrofaible:

- $v = (\sqrt{2}G_F)^{-1/2} \cong 246 \text{ GeV}$

- v est la valeur moyenne ds vide

$$\langle \Phi \rangle_0 = 1/\sqrt{2} \begin{pmatrix} 0 \\ v \end{pmatrix}$$

- Masses des bosons:

$$m_W = \frac{gv}{2} \quad m_Z = \frac{gv}{2\cos\theta_W}$$

- Masse des fermions: (couplage de Yukawa)

Couplage en $g_f v/\sqrt{2} f \bar{f}$ d'où: $m_f = g_f v/\sqrt{2}$



Masse du Higgs = paramètre libre du MS: $m_H = \sqrt{\lambda} v$

Contraintes expérimentales:

- Vérifie $\rho (\equiv M_W/M_Z \cos\theta_W) = 1$

Ordre 0 du MS !

- Si multiplet i de Higgs (Y_i, I_i) avec v_i alors:

$$\rho = \frac{\sum v_i^2 [I_i(I_i+1) - (Y_i^2/4)]}{\sum v_i^2 (Y_i^2/2)}$$

(Taxil, Gif 90)

- Solutions possibles:

$$I_i(I_i+1) = 3(Y_i^2/4) \quad \rho = 1$$

- Pas de courant neutre changeant saveur (Glashow, Weinberg)



$(I, Y) = (1/2, 1)$ automatiquement OK, $\forall i$

Masse du Higgs : contraintes théoriques

Unitarité

- Diffusion de bosons
 $\sigma(V_L V_L \rightarrow V_L V_L)$ diverge
 \rightarrow Contribution du Higgs
- Unitarité si:

$$m_H \leq (2\sqrt{2}\pi / G_F)^{1/2} \leq 700 \text{ GeV}/c^2$$

Trivialité

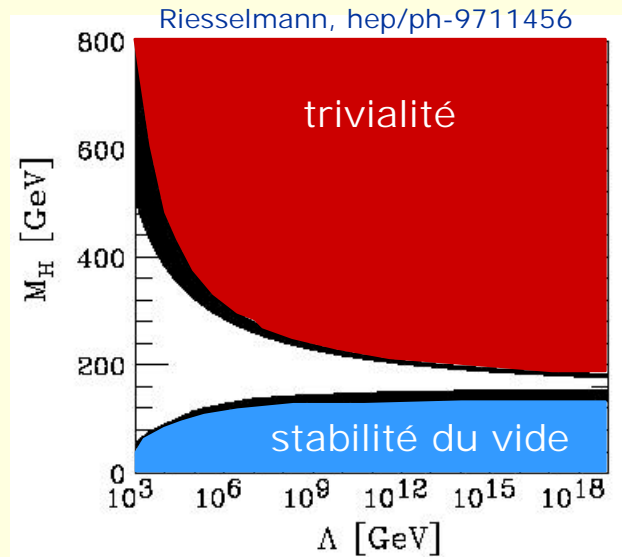
- Evolution de $\lambda(\Lambda)$: EGR
 $\lambda > 1$ pour $\Lambda \sim \Lambda_L$ (Landau)
 $\lambda < 1$ valable $\lambda(\Lambda_L) \rightarrow \infty$

$$m_H < 8\pi^2 v^2 / 3 \log(\Lambda^2/v^2)$$

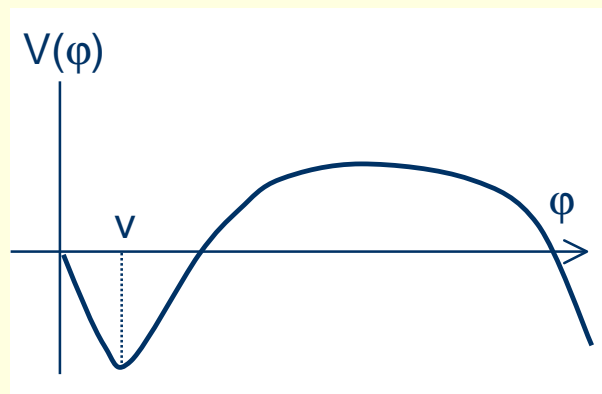
Stabilité du vide

- $V(\phi)$ doit avoir un "minimum absolu"
 $\partial V(\phi) / \partial \phi > 0$
 $\Leftrightarrow \lambda(\Lambda) > 0$
 $\Leftrightarrow m_H(\Lambda) > M_{\min}$

$$m_H > 52 \text{ GeV}/c^2 \text{ à } \Lambda = 1 \text{ TeV}$$



R. Cahn / cours GIF



Masse du Higgs Standard: contraintes expérimentales

Recherches directes

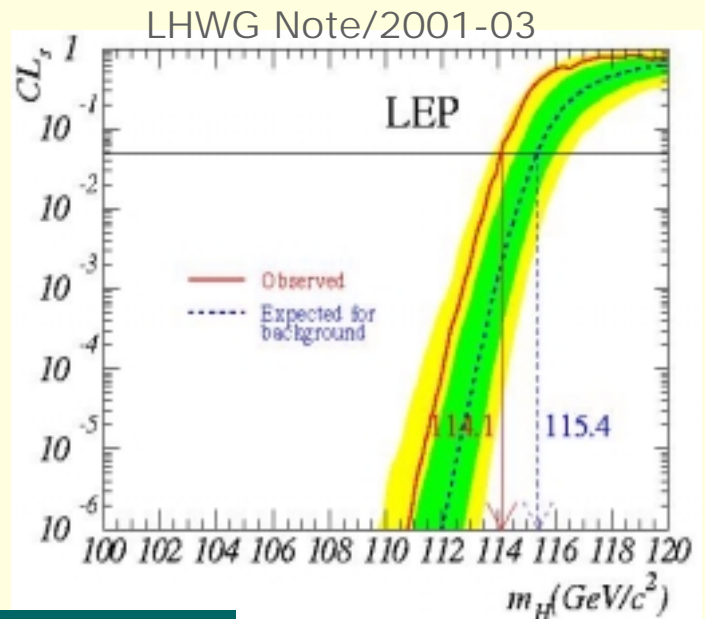
- Recherches LEP:
 - $e^+e^- \rightarrow HZ$
 - $ZH \rightarrow b\bar{b} l\bar{l}$
 - $ZH \rightarrow b\bar{b} q\bar{q}$



Exclusion à 95% CL:
 $m_H > 114.1 \text{ GeV}/c^2$



Candidats « Higgs »
 $m_H = 115 \text{ GeV}/c^2$



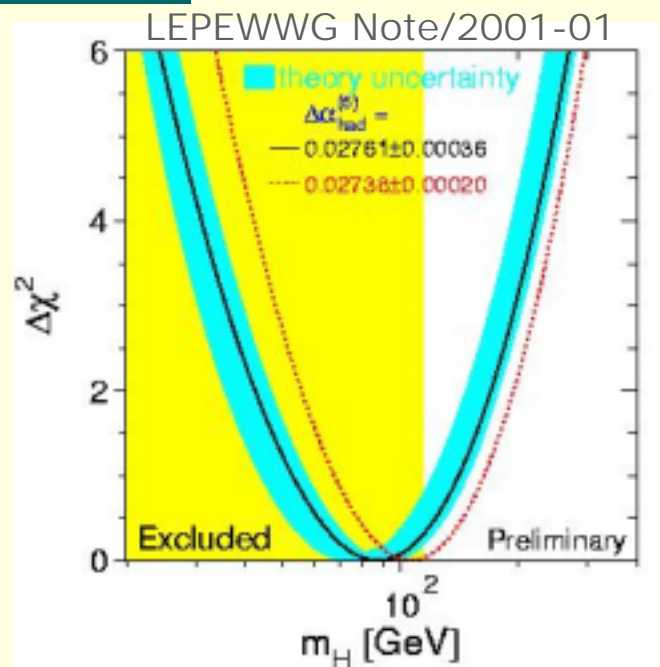
P. Lutz / cours GIF

Contraintes indirectes

- LEP+SLAC+TeVatron
- Détermination de:
 - m_Z, m_W, m_t
 - $\sin^2\theta_W, \alpha_{EM}$
- Ajustement dans le MS:
 - m_H, χ^2



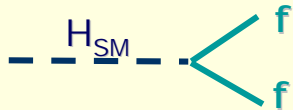
Favorise un Higgs
 $m_H < 300 \text{ GeV}/c^2$



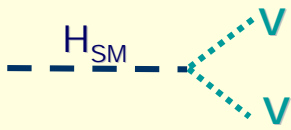
Désintégrations du Higgs au TeVatron (MS)

Largeurs de désintégration

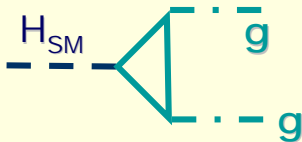
$$x = 4m^2/m_H^2$$



$$\Gamma(H_{SM} \rightarrow ff) \propto N_C \sqrt{2} G_F m_H m_f^2 (1-x_f)^{3/2}$$

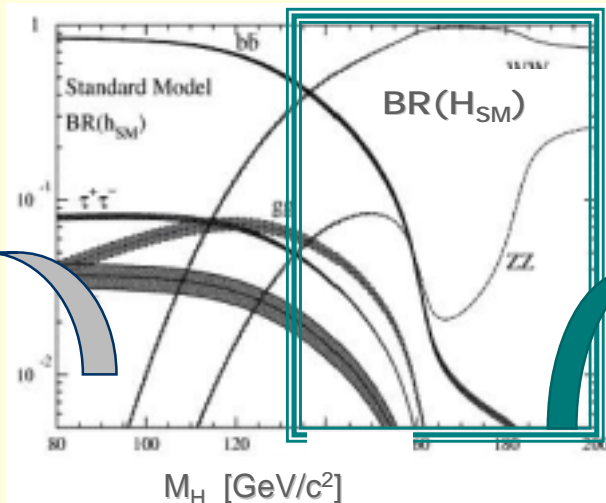


$$\Gamma(H_{SM} \rightarrow VV) \propto \sqrt{2} G_F m_H^3 (3x_V^2 - 4x_V + 4) (1-x_V)^{1/2} / x_V$$



$$\Gamma(H_{SM} \rightarrow gg) \propto \sqrt{2} G_F \alpha_s^2(m_H) m_H^3 (1 + O(\alpha_s/\pi))$$

Modes de désintégration



M. Spira / HDECAY

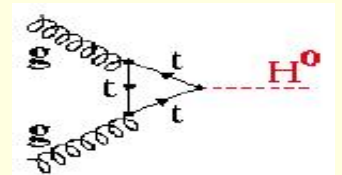
$m_H < 135 \text{ (GeV/c}^2\text{)}$	BR
$H \rightarrow bb$	~50-90%
$H \rightarrow \tau\tau$	~8%

$m_H > 135 \text{ (GeV/c}^2\text{)}$	BR
$H(\rightarrow W^+W^{*-}) \rightarrow l^+l^- \nu\nu$	4.5%
$\rightarrow l\nu qq'$	61%

Production du Higgs au TeVatron (MS)

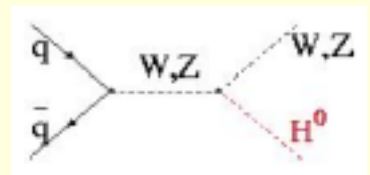
Mode $p\bar{p} (\rightarrow gg) \rightarrow H_{SM}$

- $\sigma \sim 1$ pb ie: ~ 1000 evts / fb⁻¹
 - $p\bar{p} \rightarrow b\bar{b}, \tau\bar{\tau}$ ($m_H < 135$ GeV)
 - $p\bar{p} \rightarrow WW^*$ ($m_H > 135$ GeV)



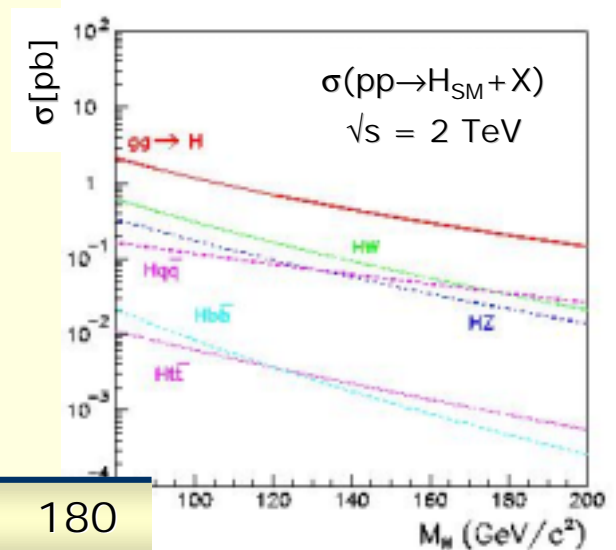
Mode $p\bar{p} (\rightarrow q\bar{q}' \rightarrow V^*) \rightarrow VH_{SM}$

- $\sigma \sim 0.2$ pb ie: ~ 200 evts / fb⁻¹
 - $p\bar{p} \rightarrow V b\bar{b}$ ($m_H < 135$ GeV)
 - $p\bar{p} \rightarrow V WW^*$ ($m_H > 135$ GeV)



Sections efficaces

- Modes exploitables:
 - $q\bar{q} \rightarrow H_{SM} W, H_{SM} Z$
- Modes noyés dans QCD:
 - $q\bar{q} \rightarrow H_{SM} \rightarrow b\bar{b}, \tau\bar{\tau}$
- Sections σ [pb]:



M. Spira / HDECAY

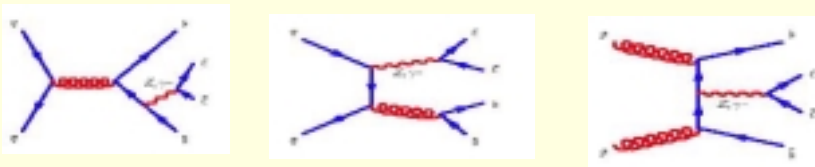
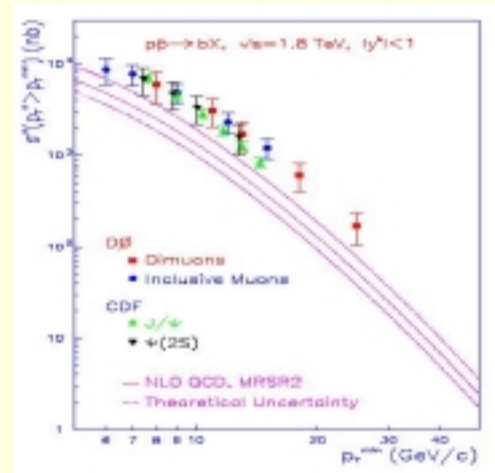
m_H [GeV/c ²]	120	140	160	180
$gg \rightarrow H_{SM}$	0.70	0.45	0.30	0.21
$q\bar{q} \rightarrow H_{SM} W$	0.17	0.09	0.05	0.03
$q\bar{q} \rightarrow H_{SM} Z$	0.09	0.06	0.03	0.02
$q\bar{q} \rightarrow H_{SM} q\bar{q}$	0.08	0.06	0.05	0.04

Les fonds au Higgs (MS)

Higgs en $VH \rightarrow llbb$ ($V=W,Z$)

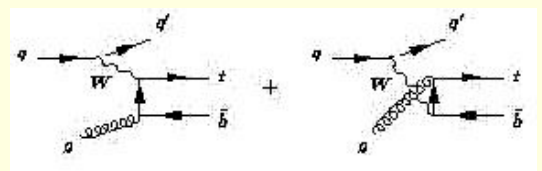
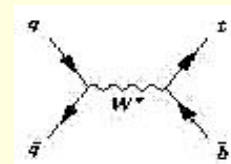
- Production QCD bb
 - $\sigma_{bb} \approx 100 \mu\text{b}$ ($\sim 1/1000 \sigma_{\text{dijet}}$)
 - fond irréductible
 - Production W+jets
 - dddd
 - fond irréductible
 - Production de bosons
 - ZZ : $\sigma \sim 1240 \text{ fb}$
 - Zbb : $\sigma \sim 5290 \text{ fb}$
 - Wbb: $\sigma \sim 8060 \text{ fb}$
- avec $60 < m_{bb} < 160 \text{ GeV}$

data / théorie ~ 2 !!



Higgs en $H \rightarrow WW^*$

- Production di-boson
 - ZZ: $\sigma \sim 1240 \text{ fb}$
 - WZ: $\sigma \sim 3600 \text{ fb}$
- Production de top:
 - paires tt: $\sigma \sim 8000 \text{ fb}$
 - simple t: $\sigma \sim \text{xxx fb}$



Phénoménologie du Higgs standard

$m_H < 135 \text{ GeV}/c^2$

$p\bar{p} \rightarrow WH \rightarrow l\nu b\bar{b}$

$p\bar{p} \rightarrow ZH \rightarrow \nu\bar{\nu} b\bar{b}$

Eléments clefs:

- déclenchement leptonique
- déclenchement mE_T
- étiquetage du b
- étalonnage de E_{jet}^b
- résolution sur M_{bb}

$m_H > 135 \text{ GeV}/c^2$

$p\bar{p} \rightarrow WH \rightarrow l^+l^+\nu\nu$

$p\bar{p} \rightarrow WH \rightarrow jj l^+l^-\nu\nu$

$p\bar{p} \rightarrow H \rightarrow l^+l^-\nu\nu$

Eléments clefs:

- déclenchement leptonique
- déclenchement mE_T
- identification leptonique
- résolution E_T , mE_T , angles

Phénoménologie du Higgs au TeVatron

1. Higgs dans le Modèle Standard

2. Higgs dans le MSSM

Le Higgs dans SUSY Minimal (MSSM)

Le secteur de Higgs dans le MSSM

- Secteur de Higgs:
 - 2 doublets $I=1/2$ et $Y=1$
 - Vérifie $\rho = 1$ (ordre 0)
 - Pas de courant neutre changeant la saveur
- 5 états physiques:
 - 2 Higgs neutres ($CP=+1$): h, H avec angle de mélange α
 - 1 Higgs neutre ($CP=-1$): A
 - 2 Higgs chargés: H^+, H^-

(Taxil, Gif 90)

Structure du MSSM

- 1 degré liberté MS \leftrightarrow 1 degré liberté SUSY

Particules	Partenaires SUSY	
	e.p. de jauge	e.p. de masse
$q = u, d, s, \dots$ $l = e, \mu, \tau$ $\nu = \nu_e, \nu_\mu, \nu_\tau$ W^\pm, H^\pm γ, Z, h, H, A g	\tilde{q}_L, \tilde{q}_R \tilde{l}_L, \tilde{l}_R $\tilde{\nu}$ $\tilde{W}^\pm, \tilde{H}^\pm$ $\tilde{\gamma}, \tilde{Z}, \tilde{h}, \tilde{H}, \tilde{A}$ \tilde{g}	\tilde{q}_1, \tilde{q}_2 \tilde{l}_1, \tilde{l}_2 $\tilde{\nu}$ $\tilde{\chi}^{\pm}_{1,2}$ $\tilde{\chi}^0_{1,2,3,4}$ \tilde{g}

Masse des Higgs MSSM: contraintes théoriques

Spectre à l'arbre

- 2 paramètres libres
 - $\tan\beta = v_u/v_d$
 - m_A (ou masse d'1 Higgs neutre)

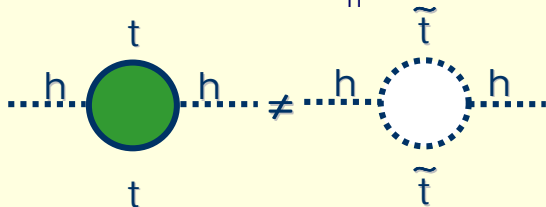
$$m_{H^\pm}^2 = m_W^2 + m_A^2$$

$$m_{H,h}^2 = \frac{1}{2} (m_A^2 + m_Z^2 \pm \sqrt{(m_A^2 + m_Z^2)^2 - 4m_Z^2 m_A^2 \cos^2 2\beta})$$

Spectre / ordres supérieurs

- + 3 paramètres libres:
 - $M_{\tilde{t}} =$ Masse des s-top
 - $X_t =$ angle Mélange \tilde{t}
 - $\mu =$ Masse des Higgs

- Contribution à m_h :

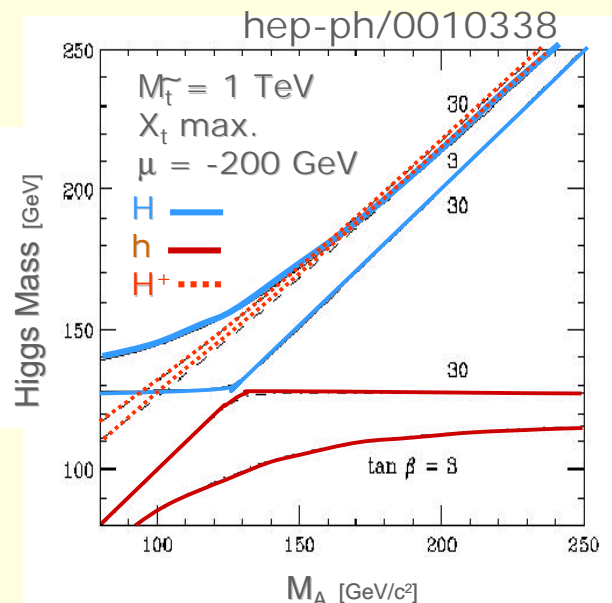


SUSY est brisée : $M_{\tilde{t}} \neq m_t$

$$m_h^2 \leq m_Z^2 + \frac{3g^2 m_t^4}{8\pi^2 m_W^2} \left(\ln \left(\frac{M_{\tilde{t}}^2}{m_t^2} \right) + X_t^2 \left(1 - \frac{X_t^2}{12} \right) \right)$$

0 si $M_{\tilde{t}} = m_t$

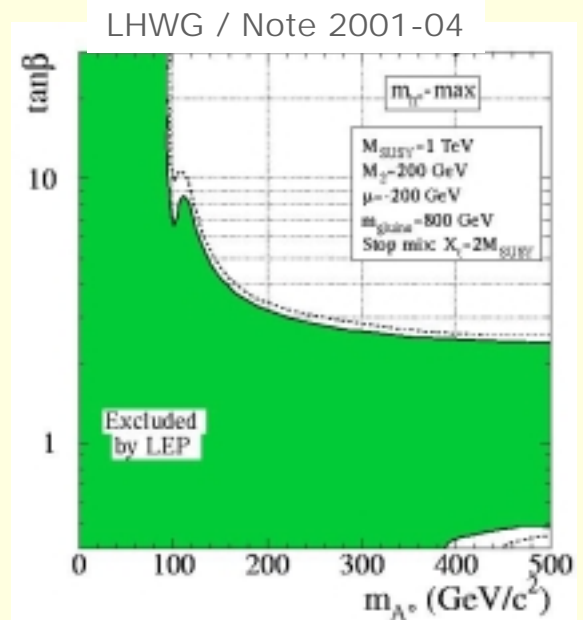
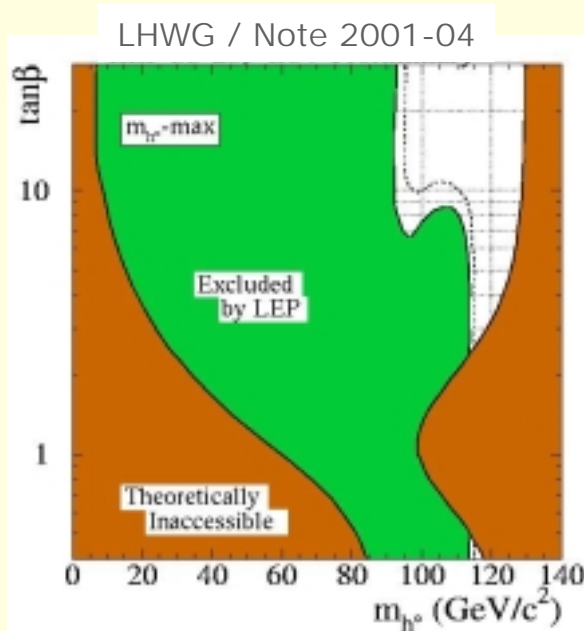
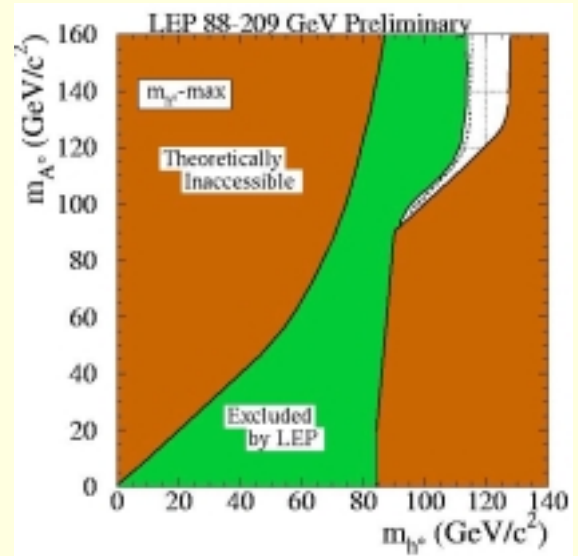
augmente avec X_t



Masse des Higgs MSSM: contraintes expérimentales

Higgs neutre h

- Recherche directe à LEP
 - Luminosité $L = 870 \text{ pb}^{-1}$
 - Energie $\sqrt{s} = 200\text{-}209 \text{ GeV}$
- Canaux:
 - $e^-e^+ \rightarrow Zh$
 - $e^-e^+ \rightarrow hA$
- Scénarios :
 - mélange maximal entre \tilde{t}_1, \tilde{t}_2
→ Cas le plus conservatif



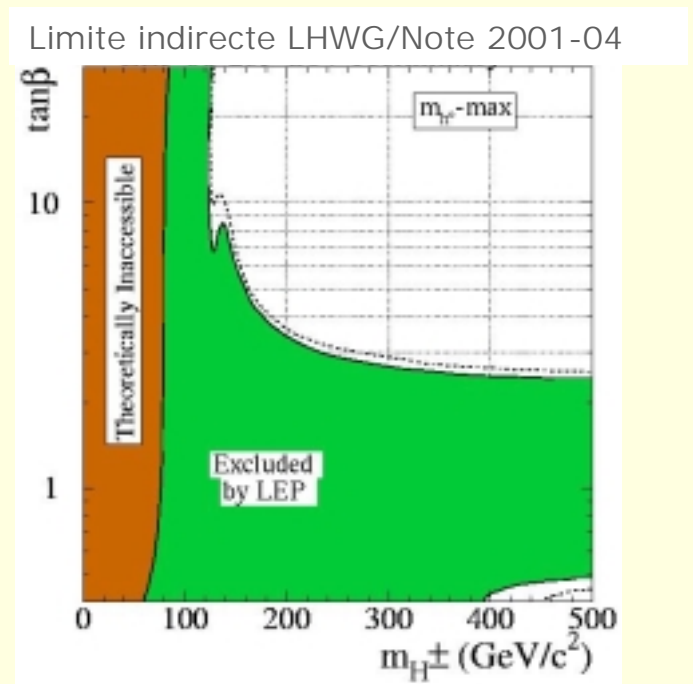
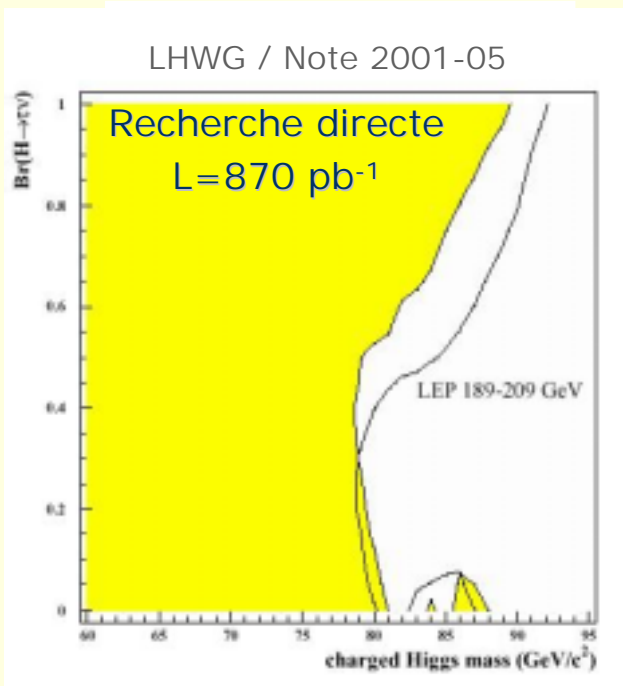
$$m_h \geq 90.1 \text{ GeV}/c^2$$

$$m_A \geq 91.0 \text{ GeV}/c^2 \text{ à } 95\% \text{ CL}$$

Masse des Higgs MSSM: contraintes expérimentales

Higgs chargés

- Recherche directe à LEP
 - Luminosité $L = 870 \text{ pb}^{-1}$
 - Energie $\sqrt{s} = 200\text{-}209 \text{ GeV}$
- Canaux:
 - $e^-e^+ \rightarrow H^+H^+$
 - $H^+ \rightarrow c\bar{s}, \tau^+\nu$
- Scénarios :
 - fonction des hypothèses sur $BR(H^+ \rightarrow \tau^+\nu)$



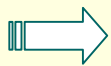
$$m_{H^+} \geq 78.6 \text{ GeV}/c^2$$

Couplages des Higgs MSSM

Couplages des Higgs neutres

– Couplages aux bosons:

- $g_{hVV}^2 + g_{HVV}^2 = (g_{HVV})_{SM}^2$ (unitarité)
- $g_{hVV} = \sin(\beta-\alpha) (g_{HVV})_{SM}$ & $g_{HVV} = \cos(\beta-\alpha) (g_{HVV})_{SM}$



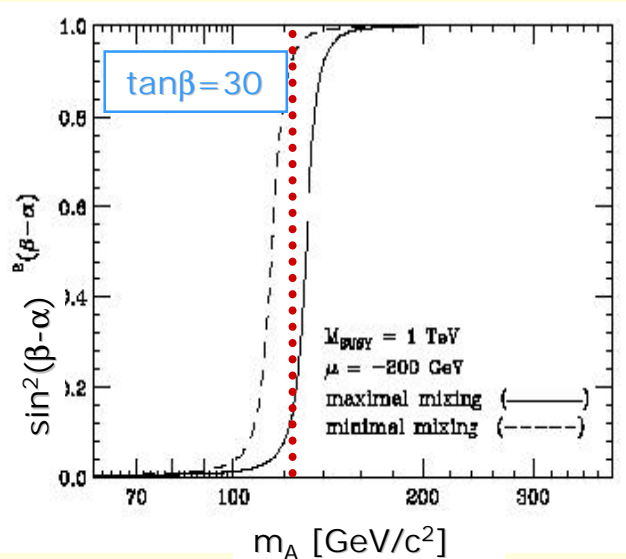
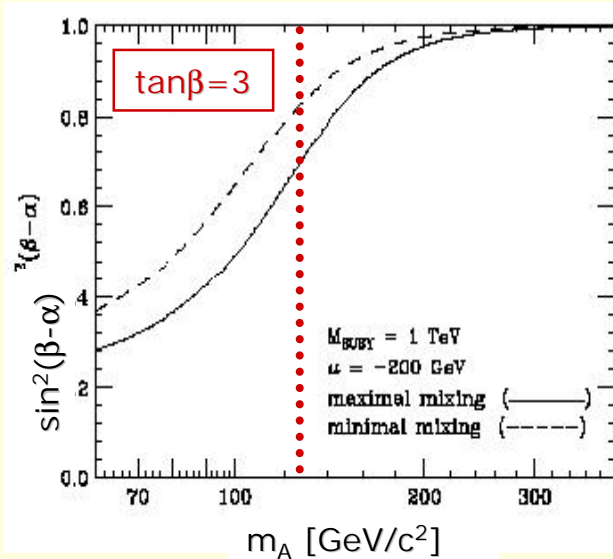
Couplages MSSM < couplages standard !!

– Couplages aux fermions:

- $g_{huu} = [\sin(\beta-\alpha) + \cot\beta \cos(\beta-\alpha)] (g_{Huu})_{SM}$
- $g_{hdd} = [\sin(\beta-\alpha) - \tan\beta \cos(\beta-\alpha)] (g_{Hdd})_{SM}$
- $g_{Auu} \propto \gamma^5 \cot\alpha$ et $g_{Add} \propto \gamma^5 \tan\alpha$

uū, cĉ, tġ

bġ, dġ, sġ, ll



$m_A > 2 m_Z$ ("découplage"):

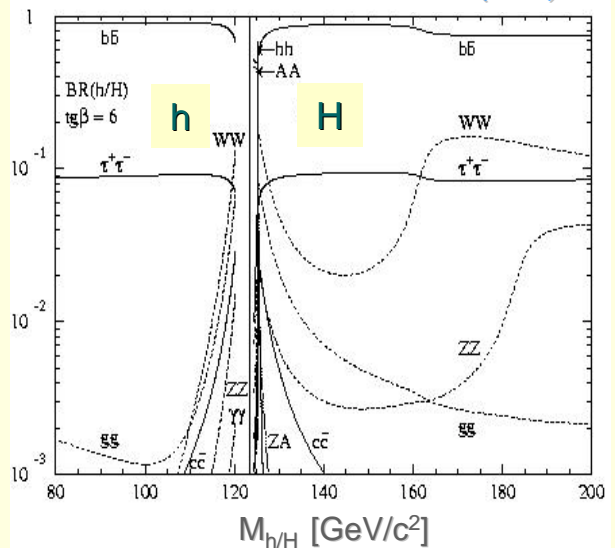
- h se comporte comme H_{SM}
- A, H et H^\pm dégénérés et $M \sim 1 \text{ TeV}/c^2$

Phénoménologie de h/H ($\tan\beta=6$)

Désintégration des h/H

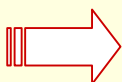
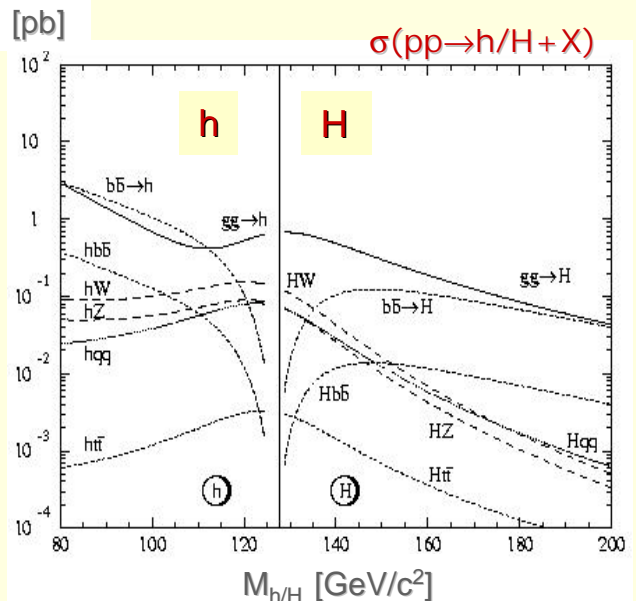
- Higgs léger h:
 - $BR(b\bar{b}) > 90\%$
 - $BR(\tau^+\tau^-) < 8\%$
- Higgs lourd H:
 - $BR(b\bar{b}) > 80\%$
 - $BR(W^+W^-) < 12\%$
 - $BR(\tau^+\tau^-) < 8\%$

BR(h/H)



Production des h/H

- Higgs léger h:
 - $\sigma(p\bar{p} \rightarrow b\bar{b}) \sim 1$ pb inexploitable
 - $\sigma(p\bar{p} \rightarrow Wh) \sim 0.15$ pb = analyse du MS
- Higgs lourd H:
 - $\sigma(p\bar{p} \rightarrow Hb\bar{b}) \sim 10$ fb état final $b\bar{b}b\bar{b}$



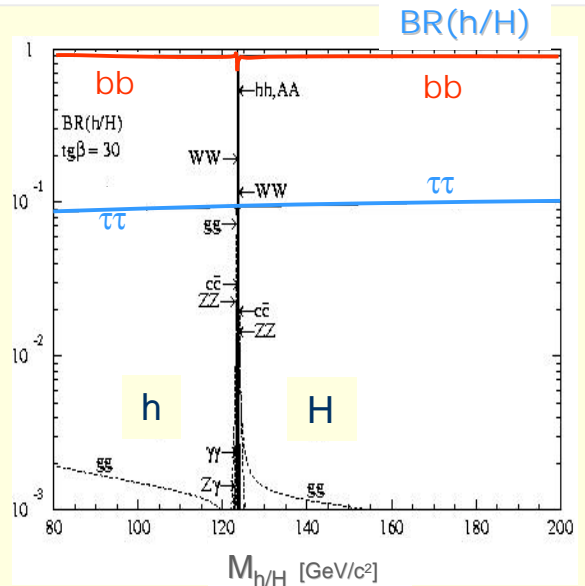
$\tan\beta=6$:
 - Higgs h: analyse standard
 - Higgs H: analyse difficile

Phénoménologie de h/H ($\tan\beta=30$)

Désintégration des h/H

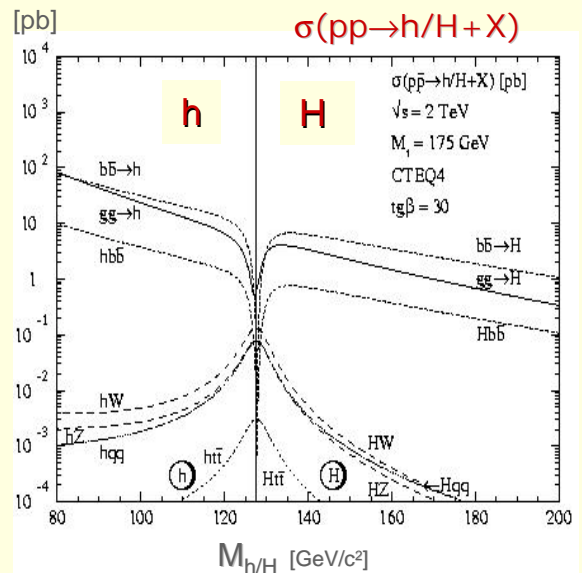
- Higgs léger h:
 - $BR(b\bar{b}) > 90\%$
 - $BR(\tau^+\tau^-) < 8\%$
- Higgs lourd H:
 - $BR(b\bar{b}) > 90\%$
 - $BR(\tau^+\tau^-) < 10\%$

⇒ $H \rightarrow WW$ disparaît



Production des h/H

- Canaux standards impossibles:
 - $\sigma(h \rightarrow b\bar{b}) \sim 30 \times \sigma(H_{SM} \rightarrow b\bar{b})$
 - Mais noyé par QCD
 - $\sigma(Wh)/\sigma(WH_{SM}) < 0.1$
 - devient négligeable
- Seuls canaux d'analyse:
 - $\sigma(p\bar{p} \rightarrow hb\bar{b} \rightarrow b\bar{b}b\bar{b}) \sim 1-10 \text{ pb}$
 - $\sigma(p\bar{p} \rightarrow Hb\bar{b} \rightarrow b\bar{b}b\bar{b}) \sim 0.1-1 \text{ pb}$



⇒ **$\tan\beta=30$:**

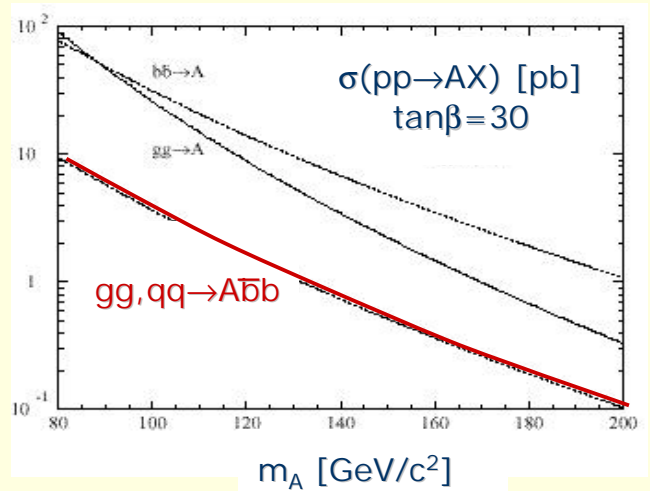
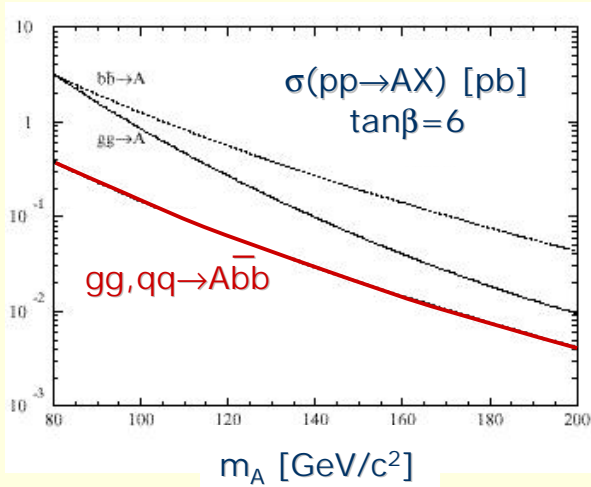
- Higgs h/H: seul canal possible $\rightarrow b\bar{b}b\bar{b}$
- Higgs h/H: canaux standard impossibles

Phénoménologie du Higgs A

Modes de production

- Bénéficie de couplages:
 - $ggA, Ab\bar{b} \propto \tan^2\beta$
- Sections efficaces:
 - $\sigma(b\bar{b}, gg \rightarrow A) \sim 10-100 \text{ pb}$
 - $\sigma(gg, bb \rightarrow Ab\bar{b}) \sim 1-10 \text{ pb}$

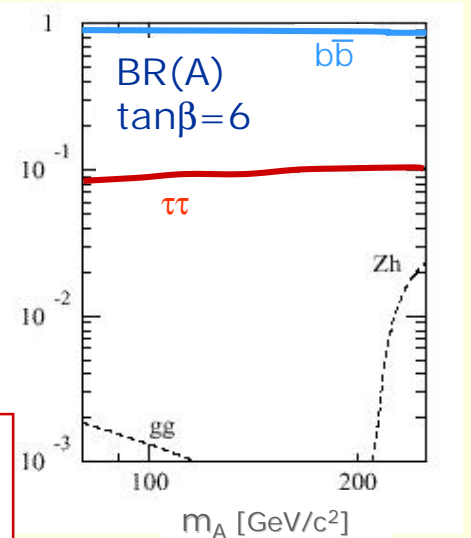
Etat final $b\bar{b}$ noyé par QCD $b\bar{b}$!



Désintégration du A

- Rapport de Branchement:
 - $BR(b\bar{b}) > 90\%$
 - $BR(\tau\tau) < 8\%$
 - Faible dépendance en $\tan\beta$

⇒ Etat final $b\bar{b}b\bar{b}$!



⇒ Recherche du A : $m_A < 200 \text{ GeV}/c^2$
– Recherche d'état final $\rightarrow b\bar{b}b\bar{b}$

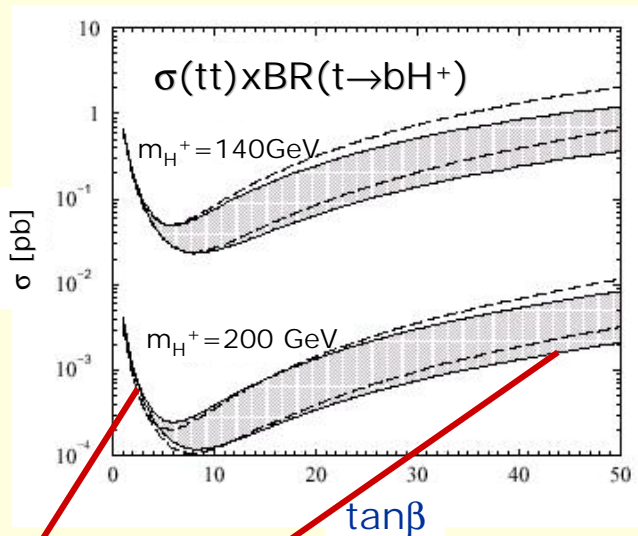
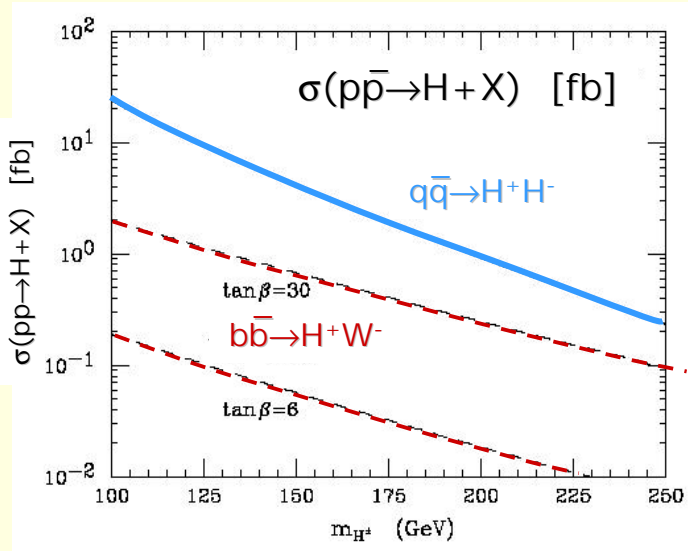
Phénoménologie des Higgs H^\pm

Modes de production

- 2 modes directs:
 - annihilation: $\sigma < 10$ fb
 - associée W - H^+ : $\sigma < 1$ fb



Modes ~ inaccessibles car σ trop faible



- 1 mode indirect:
 - $p\bar{p} \rightarrow t\bar{t}$ avec $t \rightarrow H^+b$ possible si:
 - $m_{H^\pm} < m_t - m_b$
 - $\tan\beta \sim 1$ et $\tan\beta \gg 1$
 - Diminue avec m_{H^+} (top off-shell)



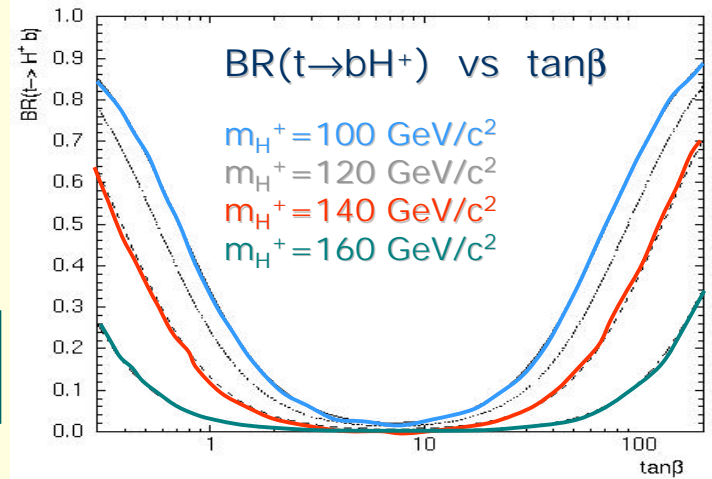
Recherche du Higgs chargé : $m_H < 200$ GeV/c²
Production par paires de Top

Phénoménologie des Higgs H^\pm

Modes de désintégration du Top

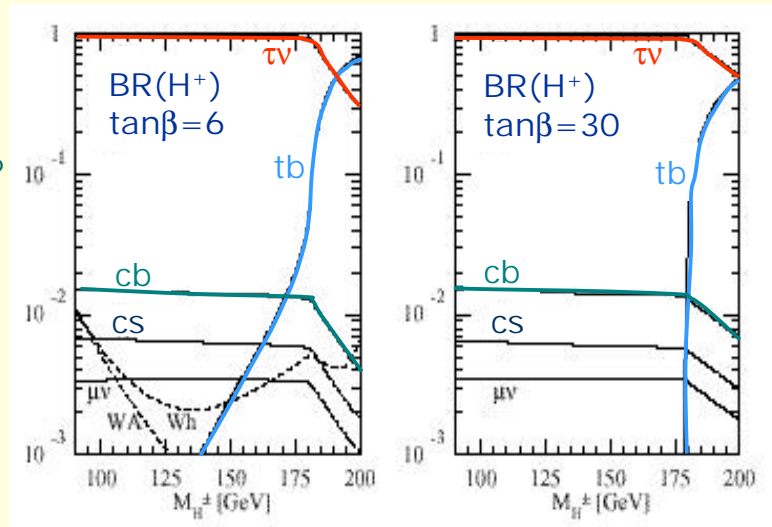
- Désintégrations du Top:
 - Standard: $t \rightarrow W^+ b$
 - SUSY: $t \rightarrow H^+ b$
 - dépend de $\tan\beta$

$BR(t \rightarrow bH^+) > BR(t \rightarrow bW^+)$
 $\forall \tan\beta < 1$ et > 30



Modes de désintégration du H^\pm

- fonction ($m_{H^\pm}, \tan\beta$)
- $m_{H^\pm} < m_t - m_b$
 - $BR(H^\pm \rightarrow \tau^\pm \nu) > 90\%$
 - $BR(H^\pm \rightarrow cb) \sim 1\%$
- $m_{H^\pm} > m_t - m_b$
 - $BR(H^\pm \rightarrow tb) \sim 50\%$



Recherche du Higgs chargé:

- indirecte: mesure de $\sigma(tt \rightarrow W^+ bW^+ b)$ vs σ_{tt} (theorique)
- directe: apparition de $H^+ \rightarrow \tau^+ \nu$?

Phénoménologie du Higgs MSSM

Higgs neutres:

$$p\bar{p} \rightarrow WH \rightarrow l\nu b\bar{b}$$

$$p\bar{p} \rightarrow ZH \rightarrow \nu\bar{\nu} b\bar{b}$$

+ états bbbb

Eléments clefs:

- déclenchement leptonique
- déclenchement mE_T
- étiquetage du b
- étalonnage de E_{jet}^b
- résolution sur M_{bb}

Higgs chargés:

$$p\bar{p} \rightarrow tt \rightarrow H^+W^-b$$

$$p\bar{p} \rightarrow tt \rightarrow H^+H^-$$

Eléments clefs:

- déclenchement leptonique
- déclenchement mE_T
- identification leptonique
- résolution E_T , mE_T , angles

Recherche directe du Higgs:

Les outils d'analyse

1. Le déclenchement

2. L'étiquetage des b

3. La résolution en énergie des jets

Le déclenchement

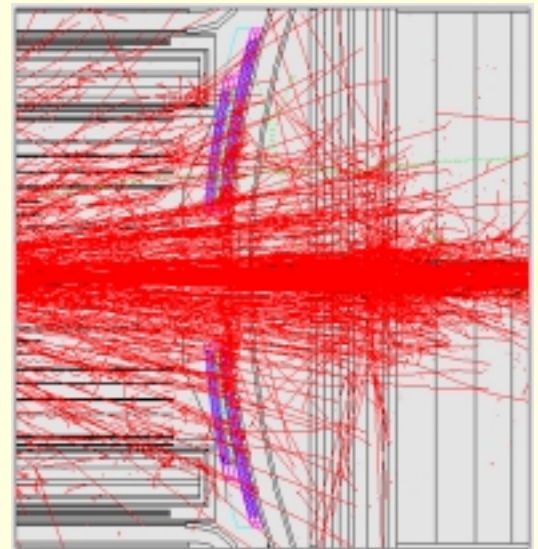
Enjeu pour l'analyse:

- Fond « dijet »

p_T (GeV/c)	σ (μb)
2-10	56,590
10-40	580

$$\sigma_{\text{dijet}} \sim 10^6 \sigma_{\text{signal}} !!$$

- Discrimination basée:
 - topologie différente:
 - $d\sigma_{\text{dijet}}$ vers grand η
 - recherche de jet de grand E_T
 - nature des objets physiques
 - recherche de leptons, vertex déplacés
- Limitations due à σ_{dijet} :



Il y aura ****toujours**** des fonds dijets dans la sélection

- Performances d'1 algorithme:
 - efficacité de sélection du signal
 - taux de dijets sélectionnés

$\epsilon^{\text{decl}}_{\text{signal}}$ (%)

taux (Hz)

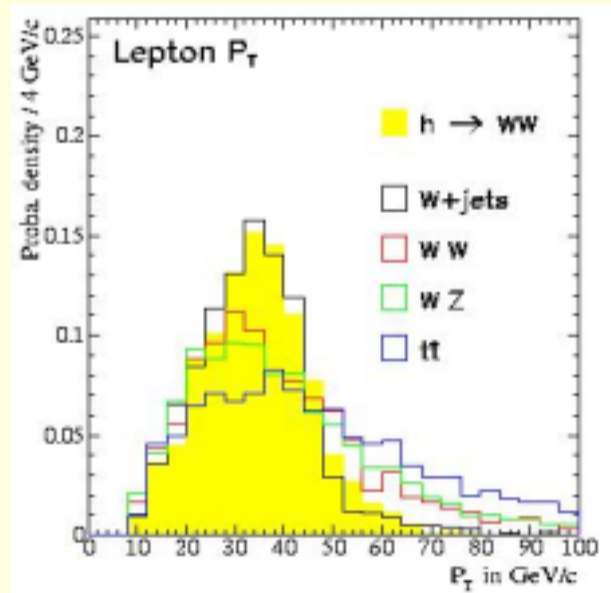
Définition d'un déclenchement:

- propre à l'analyse Higgs
- en terme de ϵ (%) vs taux dijet (Hz)

Déclenchement leptonique

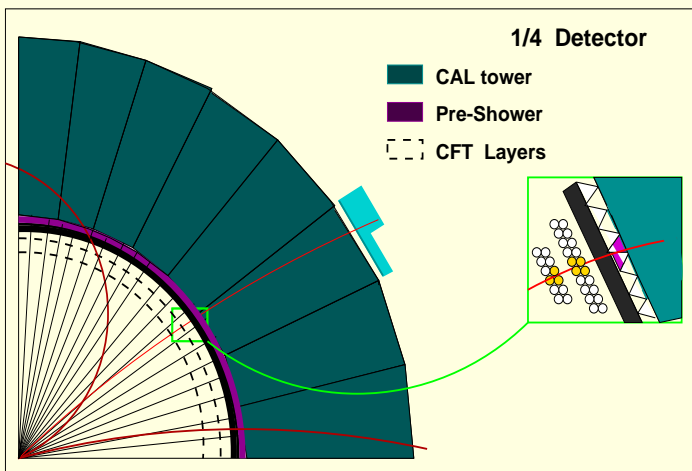
Objectifs

- Leptons mous $\sim 3-5$ GeV
 - Sélection de jet b:
 - $b \rightarrow lv + X$
 - $b \rightarrow J/\psi (\rightarrow ll) + X$
- Leptons durs $\sim 10-100$ GeV
 - Sélection W/Z:
 - $HW (\rightarrow lv), HZ (\rightarrow ll)$
 - $H \rightarrow W (\rightarrow lv) W^* (\rightarrow lv)$



Algorithme électron

- Niveau 1:
 - Cluster dans calorimètre EM
 - Association avec gerbe dans preshower
 - Au moins 1 trace associée / secteur



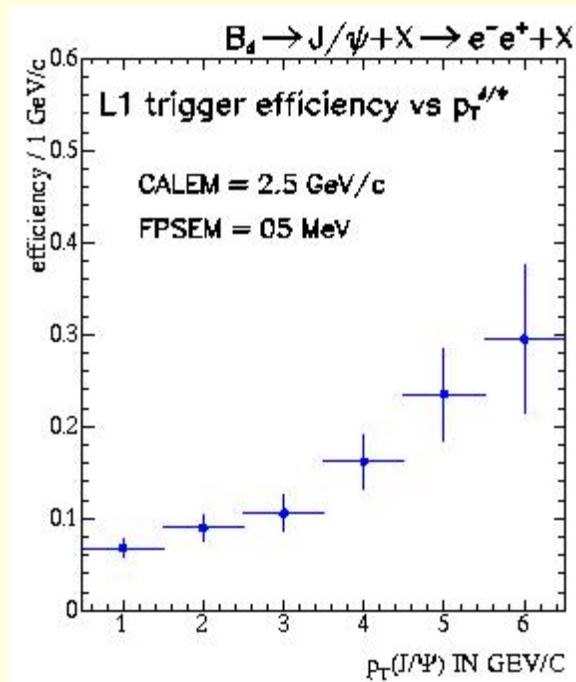
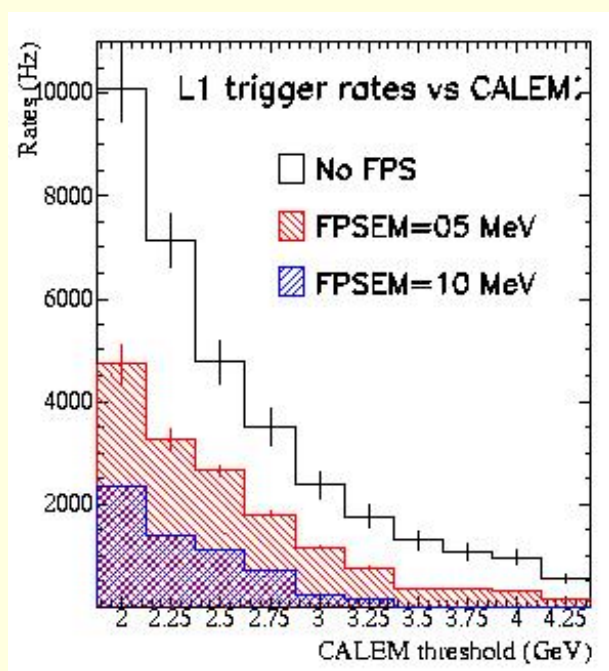
- Niveau 2:
 - Cluster EM: isolation
 - Association + précise:
 - prehower/EM
 - trace/Preshower
 - trace/Vertex

Déclenchement leptonique: exemple des électrons

Performances

- Electrons:
 - 1 e de haut p_T
 - 2 e de faible p_T
 (B → J/Ψ X → ee X)

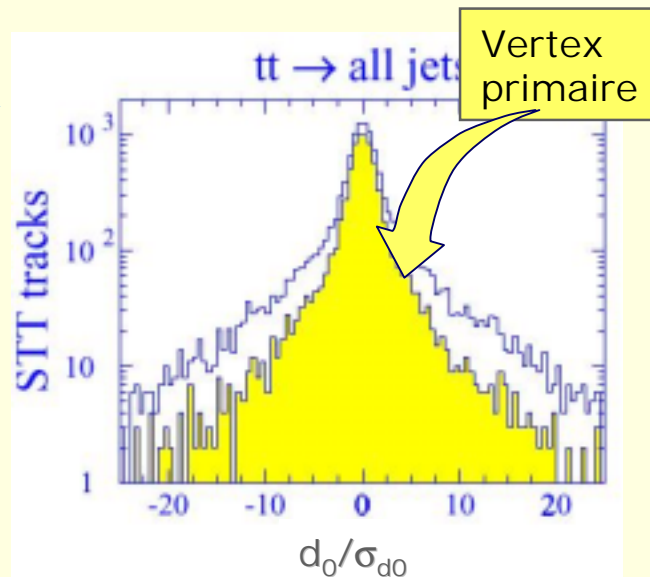
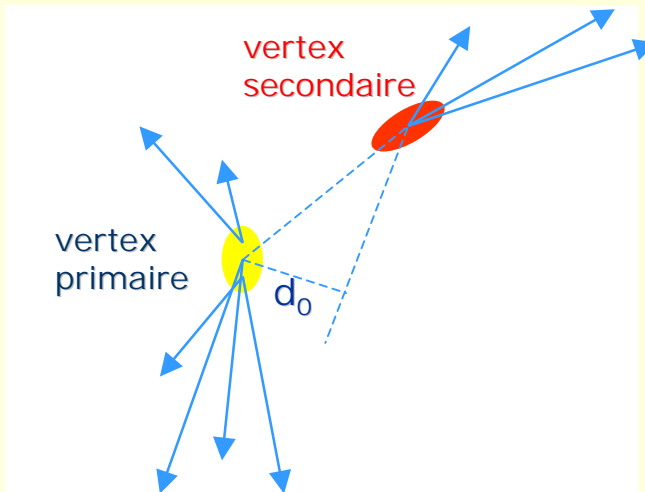
Trigger	Fonds (Hz) L1/L2	ϵ_{signal} (%)
$p_T(e) > 10 \text{ GeV}$	300/50	91%
$p_T(e,e) > 2.5 \text{ GeV}$	1000/40	15%



Déclenchement sur les Vertex déplacés

Objectifs et principe

- Sélection de jets de b:
 - $c\tau(B) \sim$ qqques mm
- Vertex déplacé:
 - Traces à grand paramètre d'impact



Algorithme

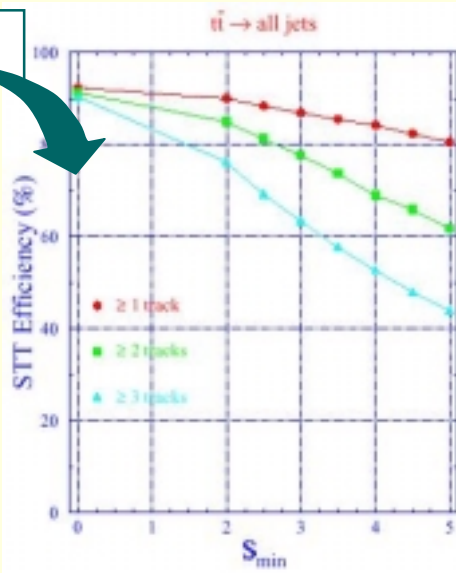
- Niveau 1:
 - Jets avec $E_T > 10-30$ GeV dans calorimètre HAD
 - Lepton ($b \rightarrow l\nu X$) si possible
- Niveau 2
 - Extrapole trace dans VTX
 - Ré-ajuste traces : d_0, p_T
 - Calcule l'erreur : σ_{d0}
 - Calcule la Significance: $S \equiv d_0/\sigma_{d0} > S_{\min}$

Déclenchement sur les Vertex déplacés

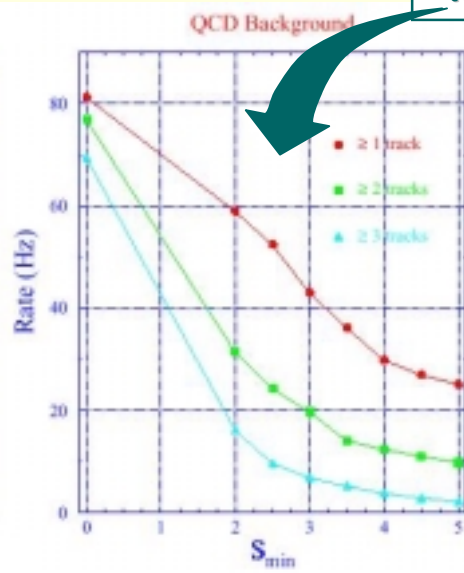
Performances attendues

- Réjection des jets provenant de VP
- Efficacité typique: $ZH \rightarrow \nu b \bar{b}$
 - Vertex + énergie manquante
 - Efficacité $\sim 30\%$
- Autre processus:

$\epsilon_{\text{signal}}^{\text{decl}}$ (%)



taux (Hz)



Processus	Taux Fonds (QCD)	Efficacité
$Z \rightarrow b\bar{b}$	< 30 Hz	20%
$t\bar{t} \rightarrow b\bar{b}jjj$	110 Hz	90%

- Echantillons Zbb de contrôle:



$\sim 25,000 Z \rightarrow b\bar{b}$ attendus / 1 fb^{-1}

Recherche directe du Higgs:

Les outils d'analyse

1. Le déclenchement

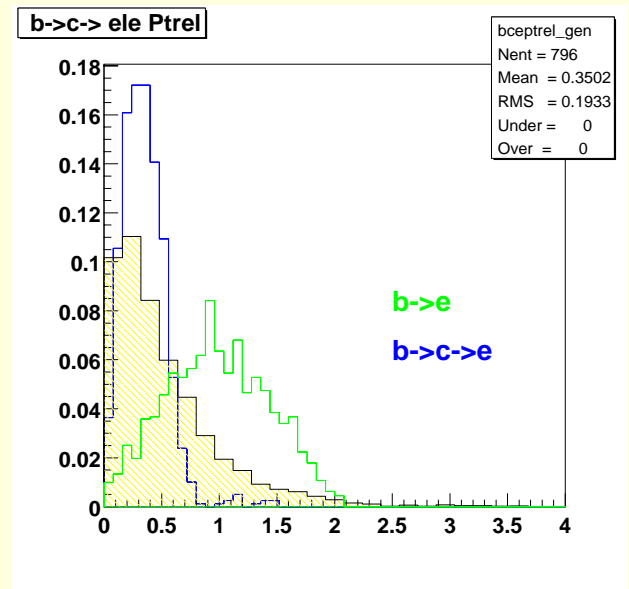
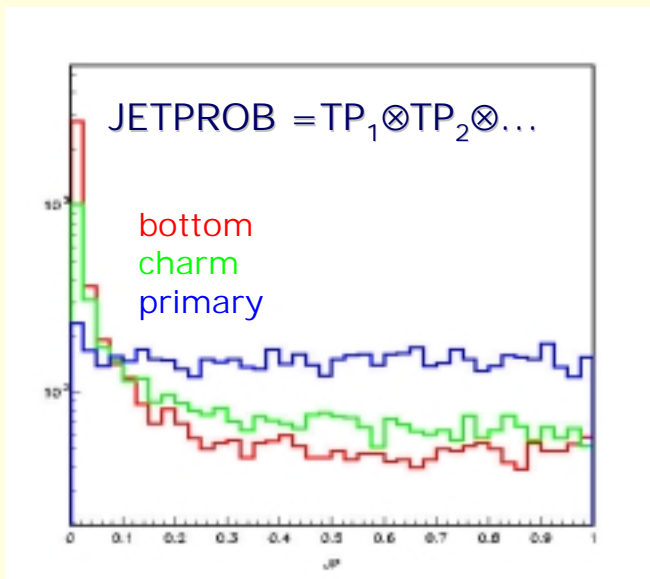
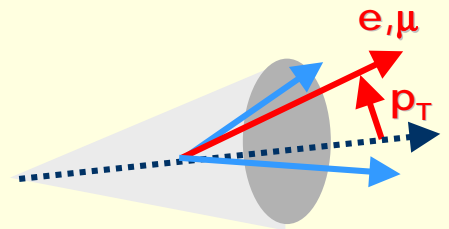
2. L'étiquetage des b

3. La résolution en énergie des jets

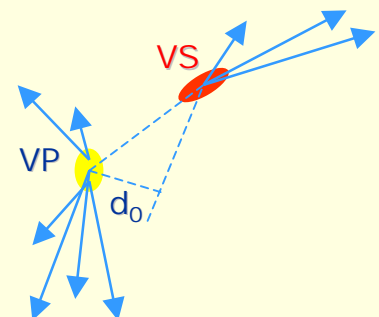
Etiquetage du b au Run I

Méthodes traditionnelles

- Algorithme Lepton mou (CDF + DØ)
 - Lepton mou:
 - $BR(B \rightarrow e\nu X) = BR(B \rightarrow \mu\nu X) \sim 10\%$
 - Spectre p_T^l / jet



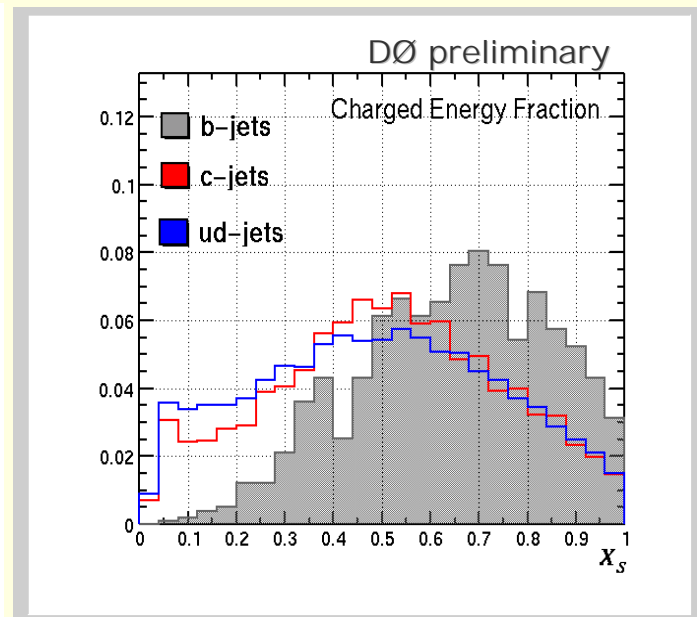
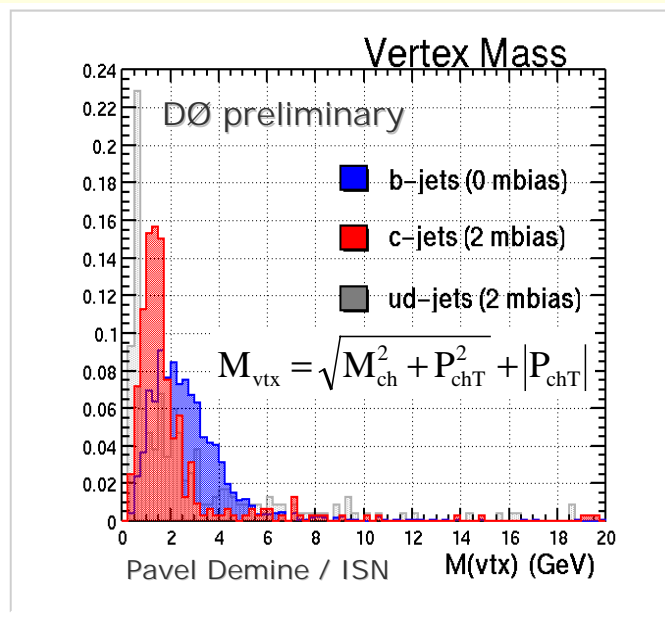
- Algorithme Probabilité-Jet (CDF)
 - TP_i : Proba. que trace i vienne du VP (paramètre d'impact)
 - JETPROB:
 - plat (0,1) pour primaire
 - 0 pour jets de b,c



Etiquetage du b au Run II

Séparation b/c

- Différences entre jet b et c:
 - Temps de vie (L_{xy}/σ_{xy})
 - Masse Vertex (Mvtx)
 - Fragmentation / topologie:
 - Fraction d'Energie chargée
 - SumP_{rel} / axe du jet: $\sum^{\text{jet}} p_{T}^{\text{rel}}$
 - SumDR / axe du jet $\sum^{\text{jet}} \Delta R(\text{tr}, \text{jet}) = \sqrt{\Delta\phi^2 + \Delta\eta^2}$



- Combinaison par méthode de vraisemblance / Réseau Neurones

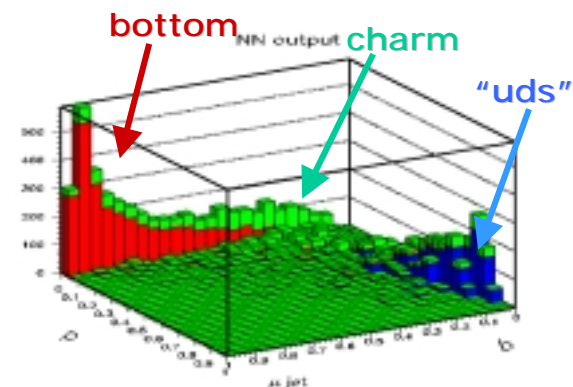
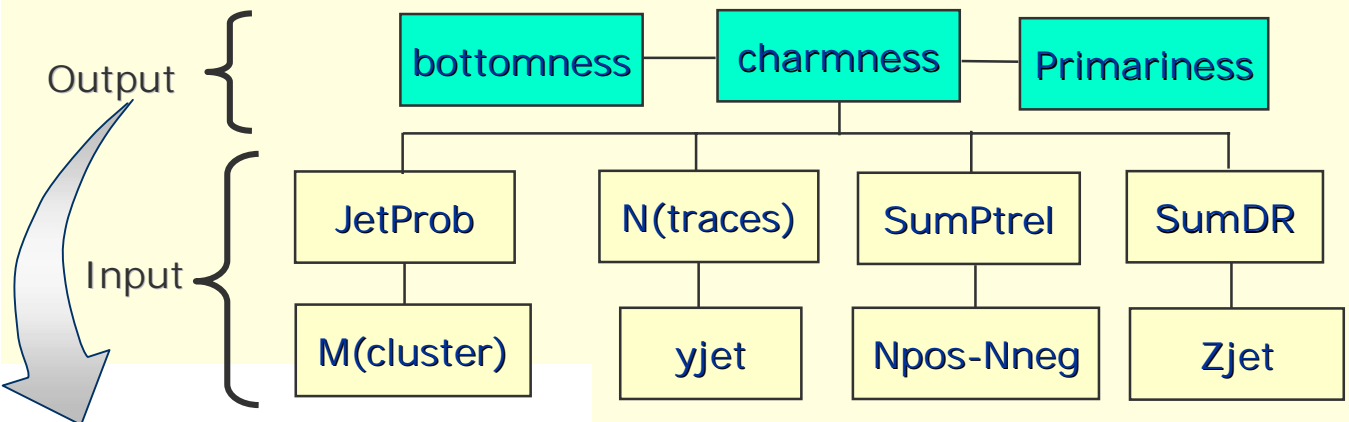


Combinaison : temps de vie + cinématique

Etiquetage du b : Réseaux de Neurones

Réseaux de Neurones

- Combinaison multi-variables
 - Basée sur simulation du signal et Fonds
 - Evaluation des corrélations
- Sortie d'une variable unique ξ continue par jet:
 - « bottom-ness » (1 pour jet b, ~ 0 pour c, uds)
 - « charm-ness » (1 pour jet c, ~ 0 pour b,uds)
 - « Jet primaires » (1 pour jet uds, ~ 0 pour b,c)



Gain efficacité de +60%
dans le double b-tag
vs Run I

Courtesy of Regina Demina / FNAL

Etiquetage du b: Résumé au Run II

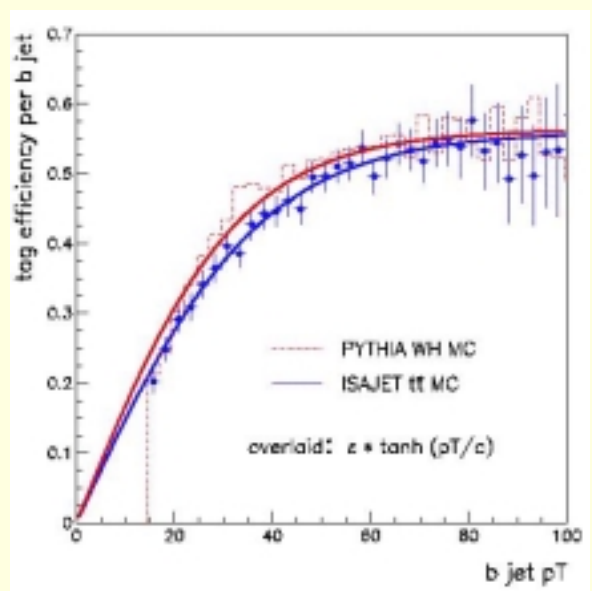
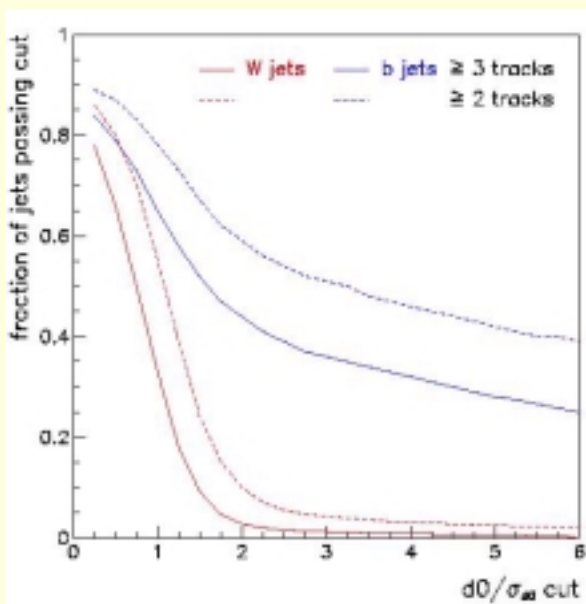
Algorithmes au Run II

Bénéficient:

- Reconstruction de vertex + performantes:
 - acceptance en z accrue jusqu'à ± 30 cm (CDF+DØ)
 - acceptance en η jusqu'à $|\eta| \sim 2.0$
- Reconstruction de traces améliorées:
 - deux systèmes autonomes, large acceptance (CDF)
 - nouveau détecteur de traces (DØ)

Performances attendues

- Etudes sur simulations simplifiée:
 - étiquetage sévère: Vertex $\varepsilon \sim 50\%$ + 2 \times lepton $\varepsilon \sim 8\%$ (CDF)
 - étiquetage « soft »: $\varepsilon \sim 60\%$ (pureté moindre)
- Efficacité vs réjection:



Recherche directe du Higgs:

Les outils d'analyse

1. Le déclenchement
2. L'étiquetage des b
3. La résolution en énergie des jets

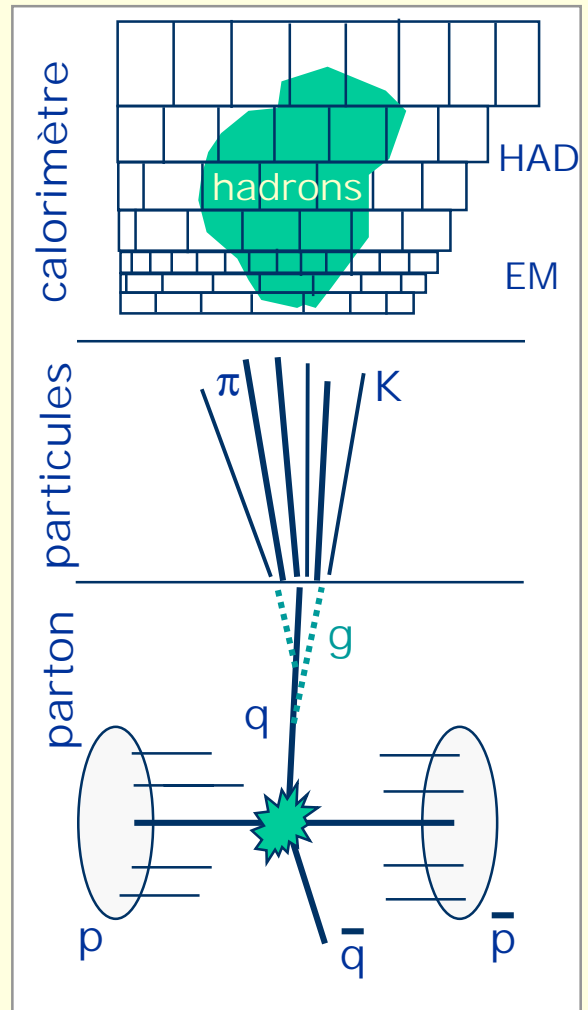
Etalonnage de l'énergie des jets

Motivations

- Erreurs dans la mesure de E_{jet} :
 - $E_{\text{jet}}(\text{particules}) \neq E_{\text{jet}}(\text{parton})$
- Sources d'erreurs:
 - échelle d'énergie du calo
 - définition d'1 jet: parton vs particules

Procédure

- 3 étapes :
- Stabilité et uniformité du calo
 - pulser (source lumière)
 - flux d'énergie symétrique en azimuth
 - muon
 - Echelle d'énergie absolue
 - trace/énergie: E/p
 - résonances $\pi^0 \rightarrow \gamma\gamma$, $J/\Psi \rightarrow ee$, $Z \rightarrow ee$
 - Lien entre Echelle Hadronique et Electromagnétique
 - modèles de fragmentation contraints par faisceau-test sur hadrons isolés
 - événements $\gamma + \text{jet}$

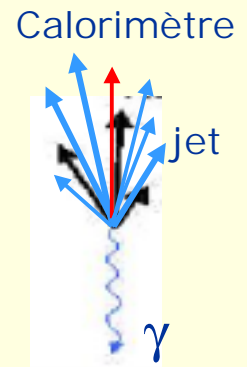


Etalonnage de l'énergie des jets

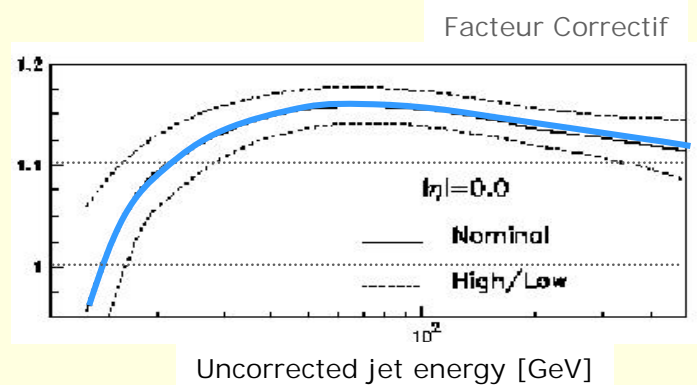
Algorithme (DØ+CDF)

Effets pris en compte:

- Biais du calorimètre E_{off}
 - Bruit électronique+fission Ur
 - Interactions multiples (~ 1 GeV / bin η, ϕ)
 - Quarks spectateurs (~ 0.6 GeV)
- Réponse du calorimètre R_{jet} :
 - $E_{\text{mes}}/E_{\text{vrai}}$
 - Calibration avec γ +jets
- Modèles hadronisation S_{cone} :
 - Perte en-dehors du cône



$$E_{\text{jet}} = \frac{E_{\text{mes}}^{\text{jet}} - E_{\text{off}}}{R_{\text{jet}} S_{\text{cone}}}$$



E_T (GeV)	Facteur correctif
20	1.08 ± 0.030
100	1.15 ± 0.017
450	1.12 ± 0.025

Résolution des Jets

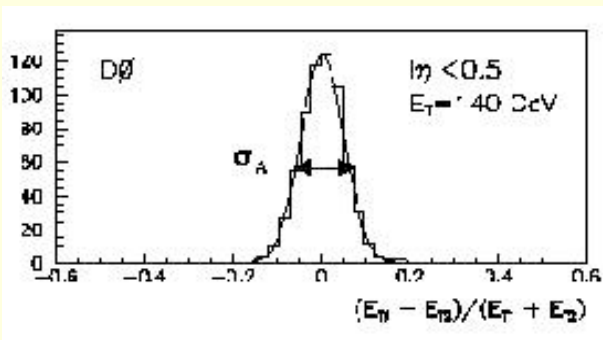
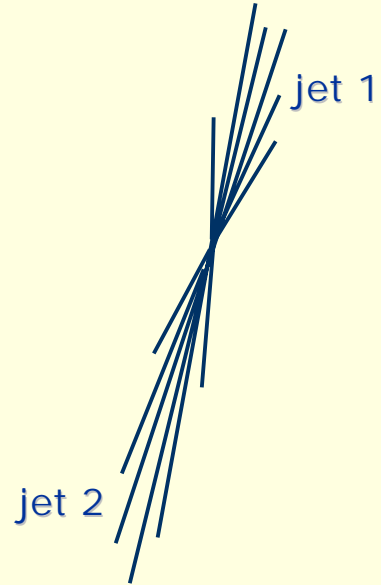
Algorithmes et performances (DØ)

- Utilise les événements 2-jets / data
 - Mesure l'asymétrie:

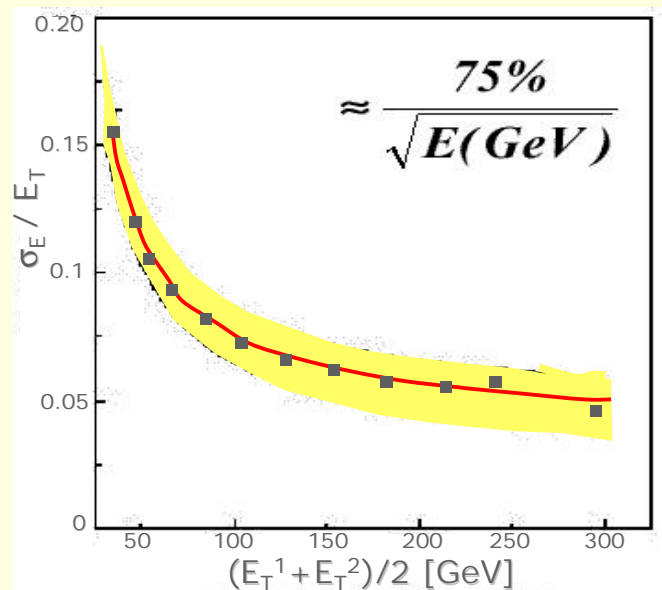
$$A = \frac{E_T(j1) - E_T(j2)}{E_T(j1) + E_T(j2)}$$

- Résolution:

- $\sigma_{ET}/E_T = \sqrt{2}\sigma_A$



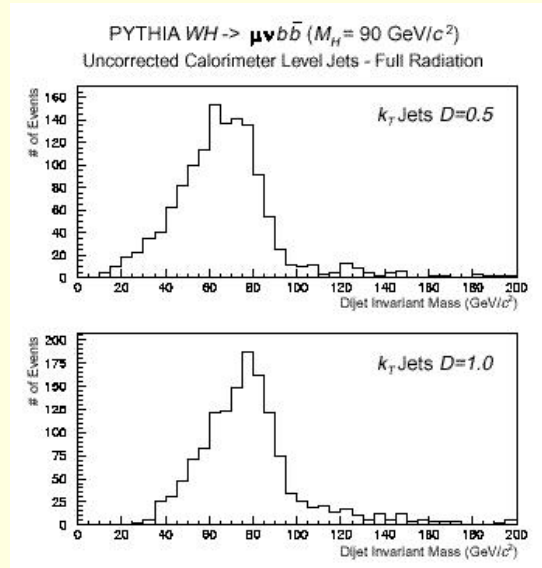
$E_T(\text{GeV})$	σ_{ET}/E_T
25	0.155
50	0.105
100	0.075
450	0.035



Résolution sur $M(jj)$

Motivations

- Reconstruction de $M_{bb} = m_H$
- Les problèmes:
 - radiations gluon ISR
 - radiations gluon FSR
 - étiquetage des jets (combinatoire)
- dépendance aux algorithmes de jets

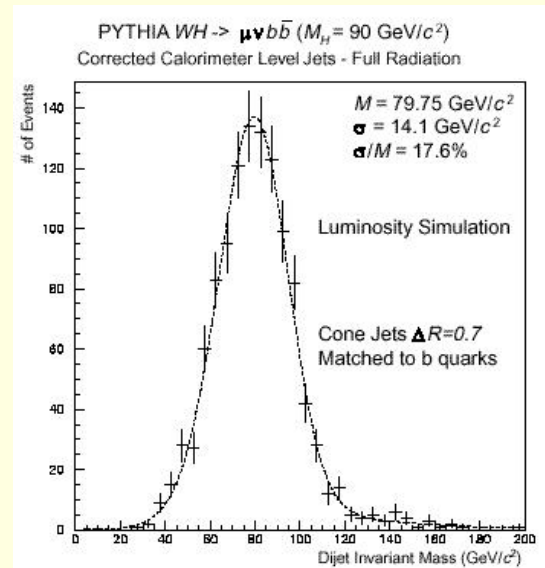


Performances

Montrent l'importance du:

- étiquetage des jets b
- interactions multiples
- choix des algorithmes de jets

Data	σ_M/M
ISR+FSR+Mbias	21 %
ISR+FSR+Mbias+bttag	18 %
ISR+FSR+b-tag	15 %



Besoin de corrections de E_{jet} :

- spécifiques aux jets b
- pour les faibles valeurs $E_t^b \sim 25\text{GeV}$



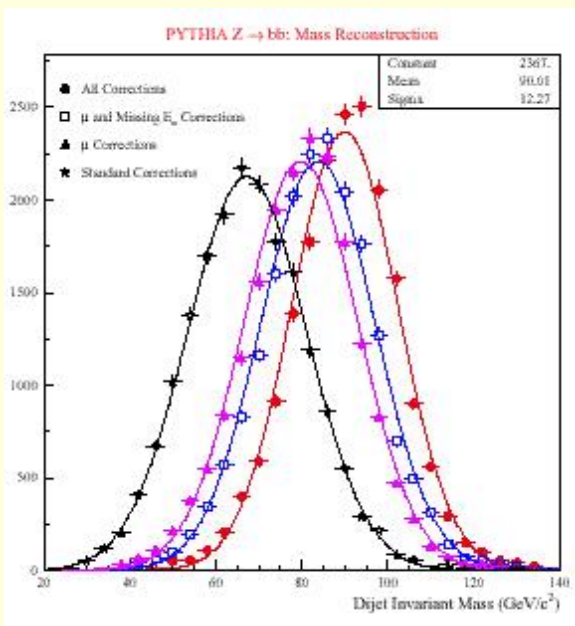
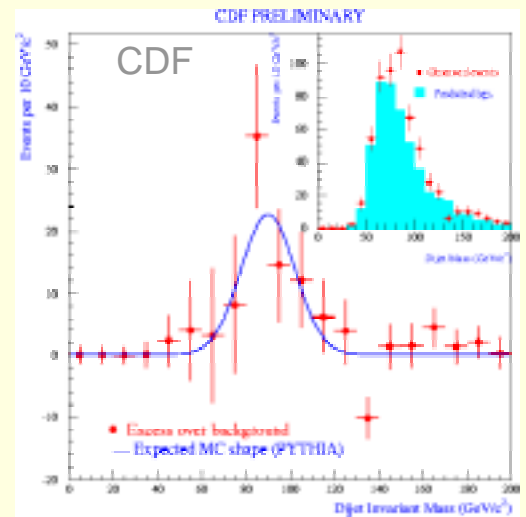
Résolution sur $M(jj)$ avec $Z \rightarrow bb$

Motivations

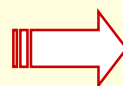
- Sélection de $Z \rightarrow bb$ indispensable pour $H \rightarrow bb$
 - étiquetage des b
 - résolution de M_{bb}
- Echantillon disponible important
 - déclenchement spécifique

Algorithme (CDF Run I)

- Sélection:
 - 1 single muon ($b \rightarrow \mu\nu X$)
 - 2 jets étiquetés-b dos-à-dos
 - Coupures Cinématiques



- Optimisation de S/B:
 - Minimise $p(\text{jet-b})^{\text{mes}} - p(b)^{\text{MC}}$
 - Utilisant p_{μ}^{mes} , m_{E_T} fraction chargée
- Analyse **très** délicate:
 - S/B $\sim 1 / 10^6$ avant coupure
 - S/B $\sim 1 / 30$ après sélection



$$S \sim 50 \text{ evts} / 0.1 \text{ fb}^{-1}$$

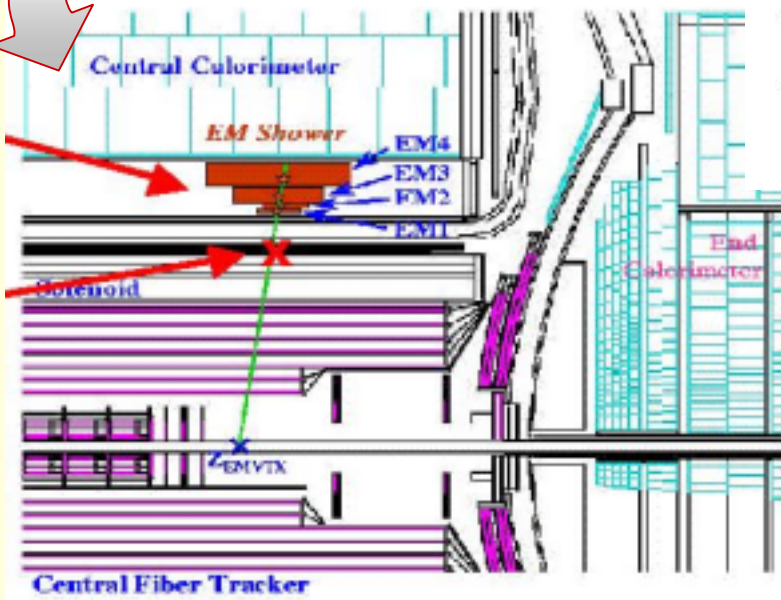
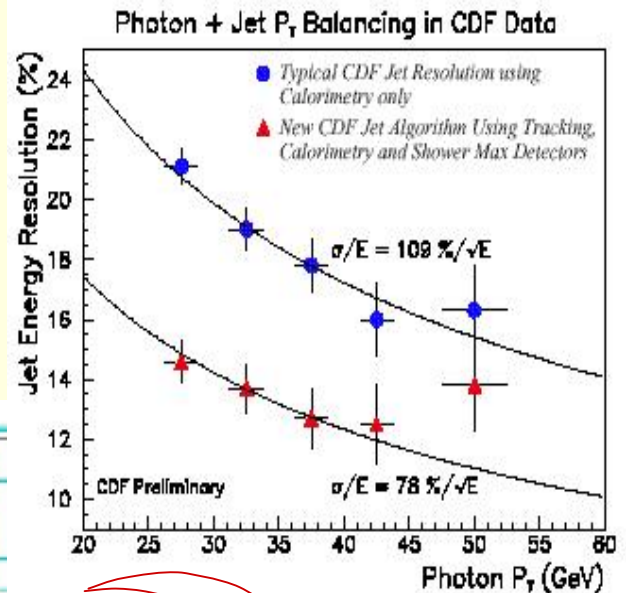
$$\sigma_{M_{bb}} / M_{bb} \sim 15 \%$$

Résolution des jets avec $Z \rightarrow b\bar{b}$

Performances attendues

- Echantillon de $Z \rightarrow b\bar{b}$
 - déclenchement single muon
 - ⇒ $S \sim 500 \text{ evts} / \text{fb}^{-1}$
 - déclenchement 2jet+vertex
 - ⇒ $S \sim 50000 \text{ evts} / \text{fb}^{-1}$

- Energie flow pour E_{jet} :
 - inclusion de p (traces)
 - mesure de gerbe EM à l'extension maximale ("shower Max")



Technique de énergie-flow améliore σ/M de 30%

Recherche directe du Higgs: Le Higgs Standard

Higgs de masse $< 135 \text{ GeV}/c^2$

$HW \rightarrow b\bar{b}l\nu$

$HZ \rightarrow b\bar{b}\nu\bar{\nu}$

$HZ \rightarrow b\bar{b}l^+l^-$

Higgs de masse $> 135 \text{ GeV}/c^2$

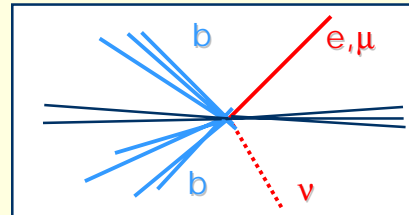
$H \rightarrow WW^*$

$WH \rightarrow WWW^*$

Le canal $WH \rightarrow l\nu b\bar{b}$ (1)

Caractéristiques

- Topologie Signal
 - 1 lepton dur
 - Energie manquante mE_T
 - 2 jets de b
- Sections efficaces

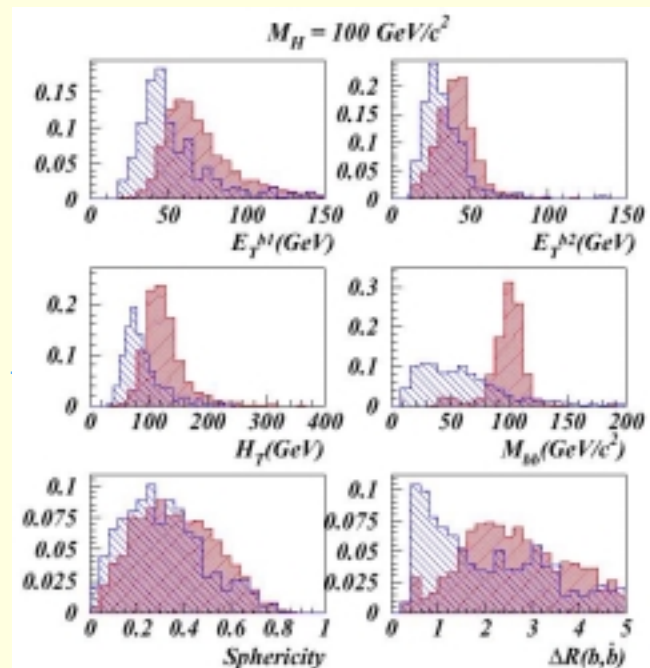


m_H [GeV/c ²]	$\sigma \times BR$ [pb]
100	0.085
110	0.062
120	0.045
130	0.034

Fonds	$\sigma \times BR$ [pb]
$pp \rightarrow Wbb$	3.500
$pp \rightarrow tbq$	0.800
$pp \rightarrow WZ$	0.165
$pp \rightarrow tt$??

Sélection

- Pré-sélection:
 - Lepton E_T , énergie mE_T
 - 2 jets b étiquetés
 - Veto 3ème jet
- Variables discriminantes:
 - Lepton: E_T^l et η^l et mE_T
 - Energie des b: E_T^b
 - Masse M_{bb} ($=m_H \pm 2\sigma_m$)
 - Energie totale jets H_T
 - Sphéricité

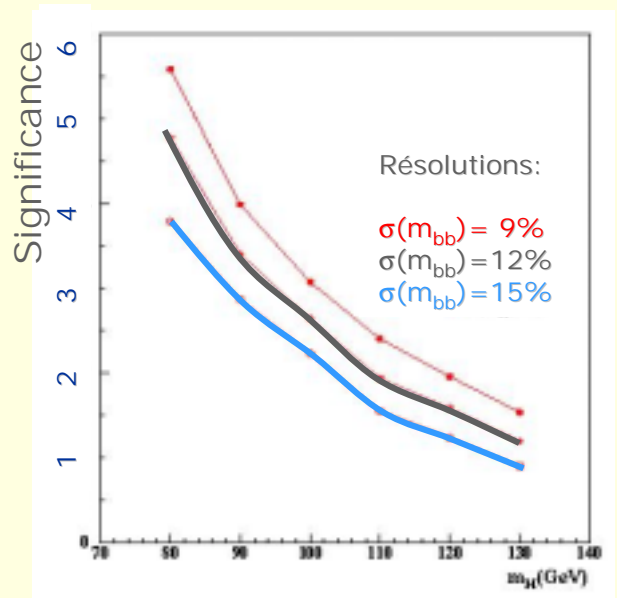


Le canal $WH \rightarrow l\nu b\bar{b}$ (2)

Paramètres clef

- Détecteur:
 - Résolution sur M_{bb}
- $$\sigma_M/M \sim 15 \rightarrow 9\%$$

Gain de 1σ
- Efficacité étiquetage b
 - Analyse NN:
 - Gain S/\sqrt{B} de $\sim 30\%$
 - Bonne connaissance des fonds (MC)
 - Théorie
 - Section efficace $\sigma(Wbb)$



Performances attendues

- Significance pour 1 fb^{-1}
 - Résolution $\sigma_M/M \sim 10\%$
 - Fonds dominants: Wbb et $t\bar{t}$

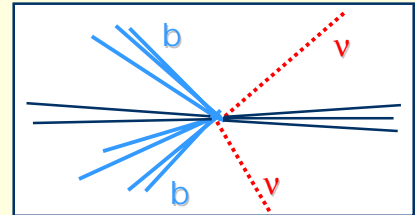
$S \sim 5 \text{ evts} / \text{fb}^{-1}$
 $S/B \sim 10\%$

		$m_H \text{ GeV}/c^2$	110	120	130
Classique	Signal		5.0	3.7	2.2
	$\epsilon \times \text{BR}$		2.3%	2.3%	1.9%
	S/\sqrt{B}		0.72	0.53	0.35
Neurones	S/\sqrt{B}		1.1	0.87	0.55

Le canal $ZH \rightarrow \nu\bar{\nu}b\bar{b}$ (1)

Caractéristiques

- Topologie Signal:
 - Energie manquante mE_T
 - 2 jets de b
- Sections efficaces:

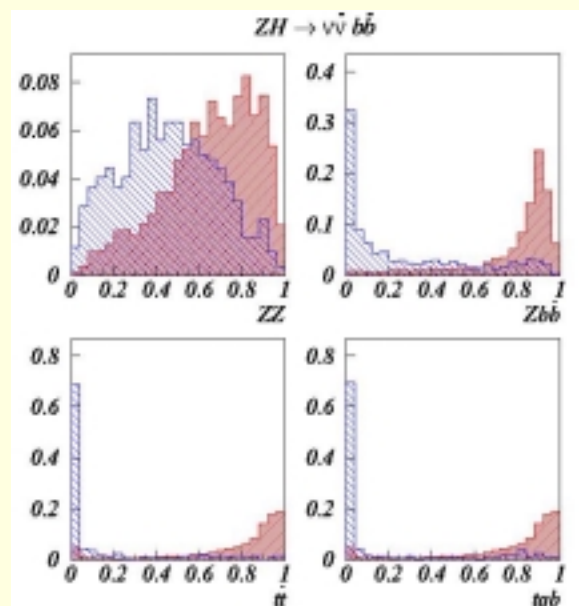


m_H [GeV/c ²]	$\sigma \times BR$ [pb]
100	0.030
110	0.022
120	0.016
130	0.013

Fonds	$\sigma \times BR$ [pb]
$pp \rightarrow Zbb$	0.700
$pp \rightarrow tbq$	0.800
$pp \rightarrow ZZ$	0.074
$pp \rightarrow tt$	0.080

Sélection

- Pré-sélection:
 - Energie mE_T
 - 2 jets b étiquetés
 - Veto 3ème jet
- Variables discriminantes:
 - Energies E_T^b et mE_T
 - Masse M_{bb} ($=m_H \pm 2\sigma_m$)
 - Energie totale jets H_T
 - Sphéricité, Centralité
 - $\Delta\Phi(mE_T, \text{jet}) > 0.5$

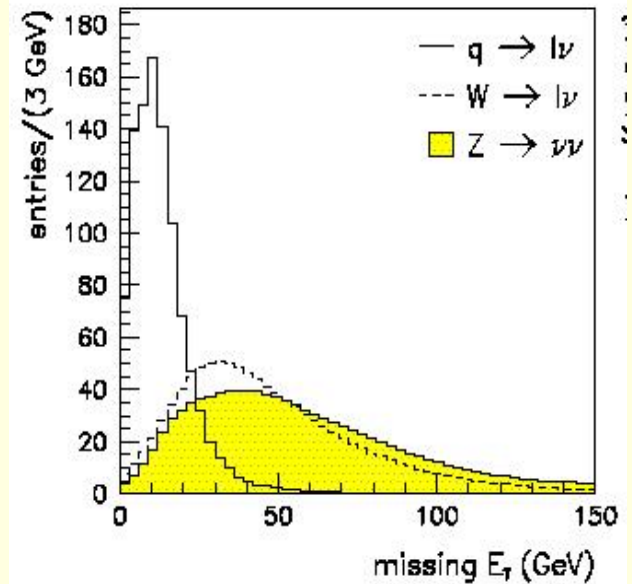


Le canal $ZH \rightarrow \nu\bar{\nu}b\bar{b}$ (2)

Paramètres clef

- Détecteur:
 - Résolution sur M_{bb}
 - Efficacité étiquetage b
 - Résolution mE_T
- Fonds principal:
 - QCD bb: data ($\sigma \sim 10^6 \times \sigma_{HZ}$ et $\varepsilon \ll 1$)
- Analyse NN:
 - Gain S/\sqrt{B} de $\sim 30\%$
- Théorie:
 - Calcul $\sigma(Zbb)$

R. Jesik / DØ



Performances attendues

- Résultats pour 1 fb^{-1}
 - Résolution $\sigma_M/M \sim 10\%$
 - Fonds dominants: Zbb , QCD bb

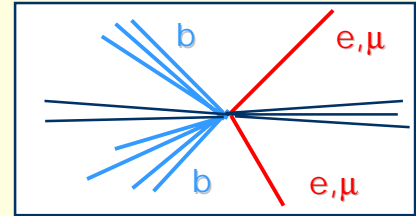
$S \sim 2 \text{ evts} / \text{fb}^{-1}$
 $S/B \sim 15\%$
 distribution de M_H

ZH	$m_H \text{ GeV}/c^2$	110	120	130
	Signal	2.7	1.7	0.9
Classique	$\varepsilon \times \text{BR}$	2.1%	1.7%	1.2%
	S/\sqrt{B}	0.84	0.59	0.38
Neurones	S/\sqrt{B}	0.90	0.73	0.53

Le canal $ZH \rightarrow l\bar{l}b\bar{b}$ (1)

Caractéristiques

- Topologie:
 - Energie manquante mE_T
 - 2 jets de b
- Sections efficaces:

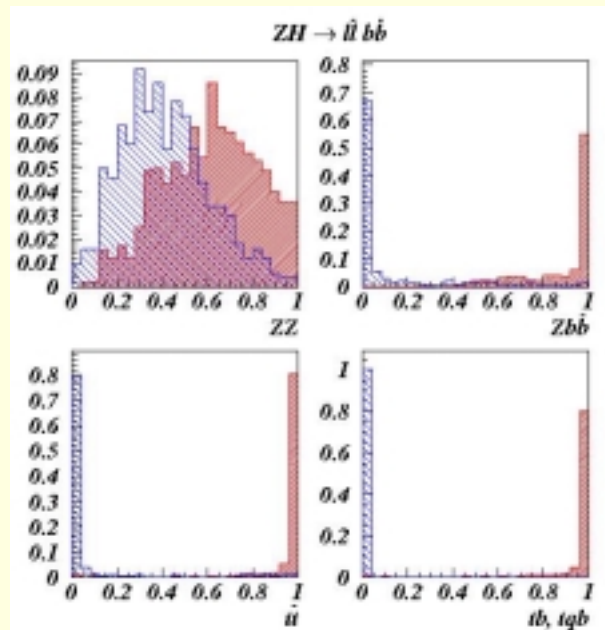


$m_H [\text{GeV}/c^2]$	$\sigma \times \text{BR} [\text{pb}]$
100	0.015
110	0.011
120	0.008
130	0.006

Fonds	$\sigma \times \text{BR} [\text{pb}]$
$pp \rightarrow Zbb$	0.350
$pp \rightarrow tbq$	0.800
$pp \rightarrow ZZ$	0.026
$pp \rightarrow tt$	0.350

Sélection

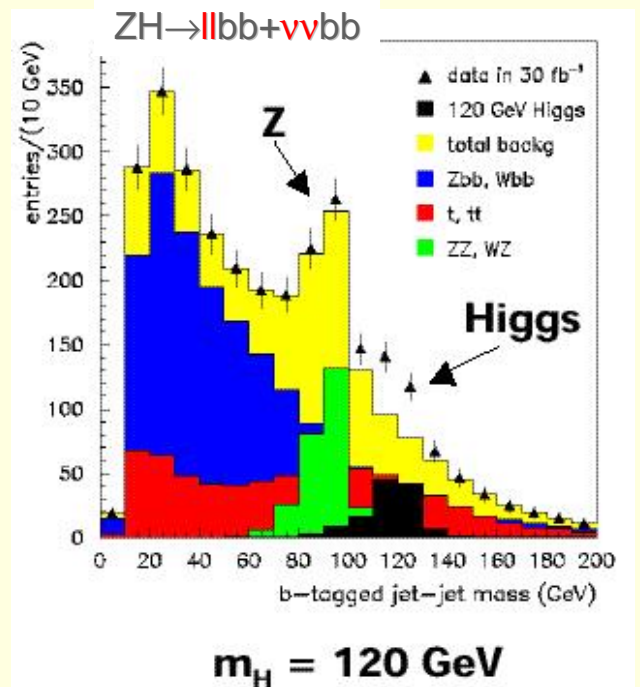
- Pré-sélection:
 - 2 leptons haut p_T
 - 2 jets b étiquetés
 - Veto 3ème jet
- Variables discriminantes:
 - Energie des b: E_T^b
 - Energie des leptons: E_T^l
 - Masse $M(l\bar{l})$
 - Masse $M(b\bar{b})$
 - Energie totale des jets H_T
 - Ecart lepton, b : $\Delta R(l, b)$



Le canal $ZH \rightarrow l^+l^-b\bar{b}$ (2)

Paramètres clef

- Détecteur:
 - Résolution sur M_{bb}
 - Efficacité étiquetage b
 - Résolution $M(l\bar{l})$
- Analyse NN:
 - Gain S/\sqrt{B} de $\sim 30\%$
 - Etudes fonds sur data



Performances attendues

- Significance pour 1 fb^{-1}
 - $\sigma_M/M \sim 10\%$
 - Fonds dominants: ZZ, Zbb

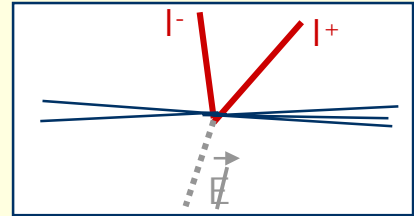
$S \sim 0.4\text{-}0.9 / \text{fb}^{-1}$
 $S/B \sim 30\text{-}45\%$
 distribution de M_H

ZH	$m_H \text{ GeV}/c^2$	110	120	130
Classique	Signal	0.9	0.6	0.4
	S/\sqrt{B}	0.5	0.4	0.3
Neurones	S/\sqrt{B}	0.6	0.5	0.4

Le canal $H \rightarrow W^* W^* \rightarrow l^+ l^- \nu \bar{\nu}$ (1)

Caractéristiques

- Topologie Signal:
 - 2 leptons durs
 - énergie manquante mE_T
- Sections efficaces:

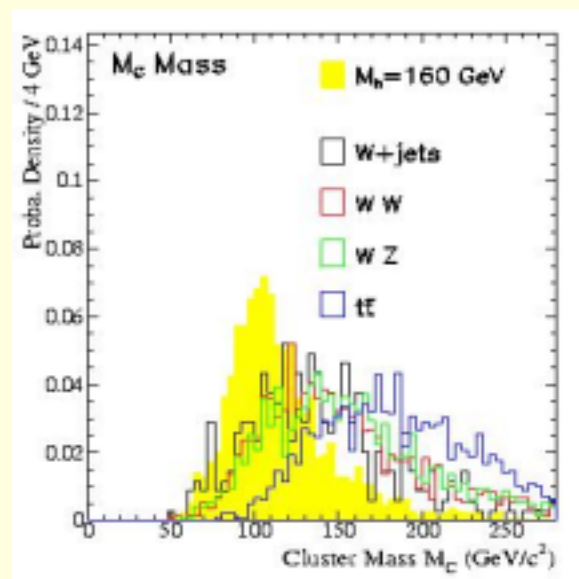


m_H [GeV/c ²]	$\sigma \times BR$ [fb]
150	4.4*
160	5.2*
170	4.8*
180	3.6*

Fonds	$\sigma \times BR$ [fb]
pp $\rightarrow WW$	130*
pp $\rightarrow ZZ$	2.4*
pp $\rightarrow WZ$	4.4*
pp $\rightarrow W + \text{jet}$	18*
pp $\rightarrow tt$	13*

Sélection

- Pré-sélection:
 - 2 leptons haut p_T , mE_T
 - veto de jet de haut p_T
- Variables discriminates
 - Masse invariante $m(l\bar{l})$
 - Corrélations entre leptons: $\Phi(l\bar{l})$, $\theta(l\bar{l})$ (H = spin-0!)
 - Paire leptons: $p_T(l\bar{l})$, $\cos \theta(l\bar{l} - mE_T)$
 - Masse des clusters: $M_C = \sqrt{p_T^2(l\bar{l}) + m^2(l\bar{l})} + mE_T$



Le canal $H \rightarrow W^* W^* \rightarrow l^+ l^- \nu \bar{\nu}$ (2)

Sélection

Utilisation de Fonction de Vraisemblance:

- Choix de variables discriminantes ~ indépendantes
 - densités de probabilité:

$$v_i(x_i)$$

Absolument à voir:
P. Lutz / cours GIF 1988

- Probabilité individuelle d'être S ou B:
 - pour chaque variable v_i (/bin)

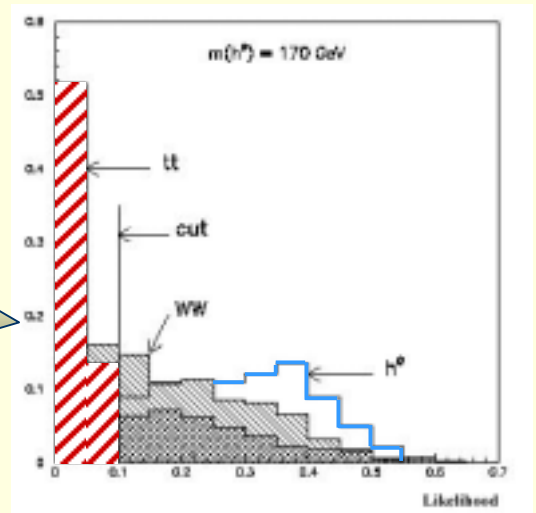
$$P_{v_i}^S(x_i) = \frac{v_i^S(x_i)}{\sum_{j=S,B} v_i^j(x_i)}$$

- Fonction de Vraisemblance:
 - Produit des probabilités

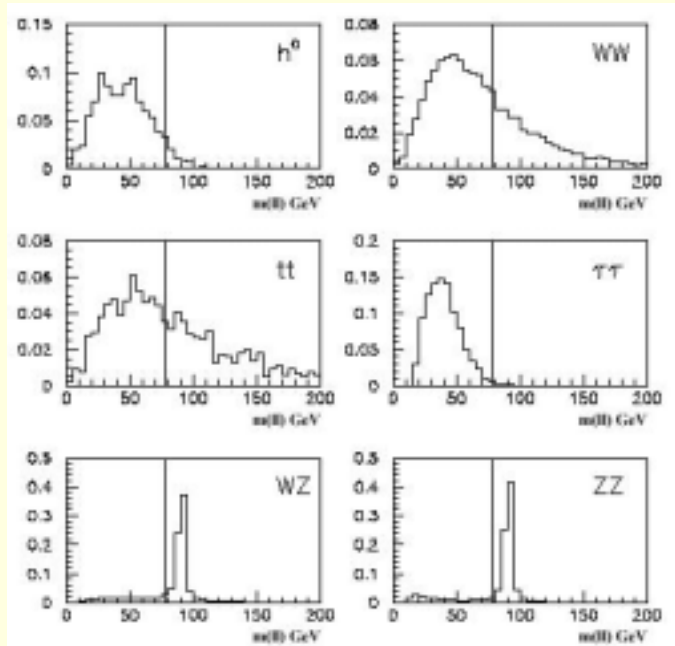
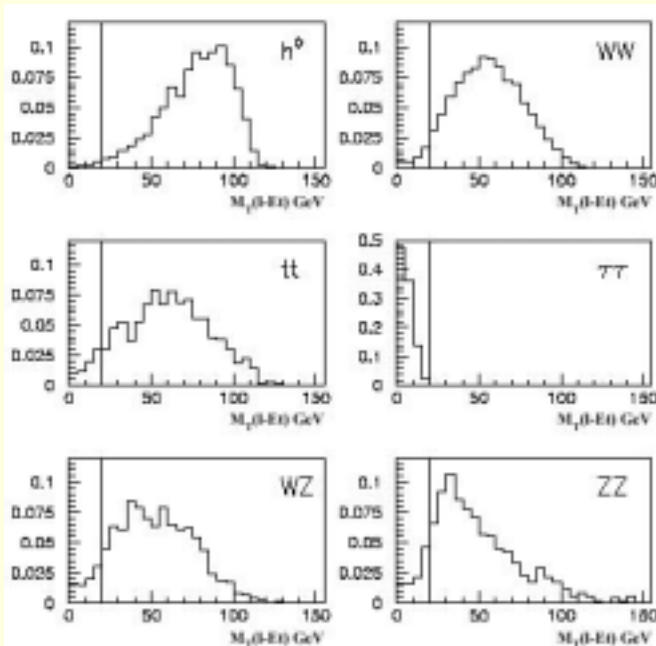
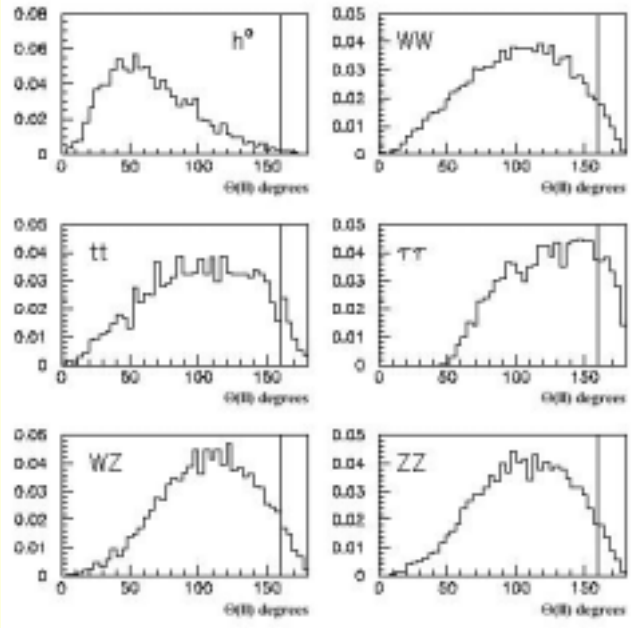
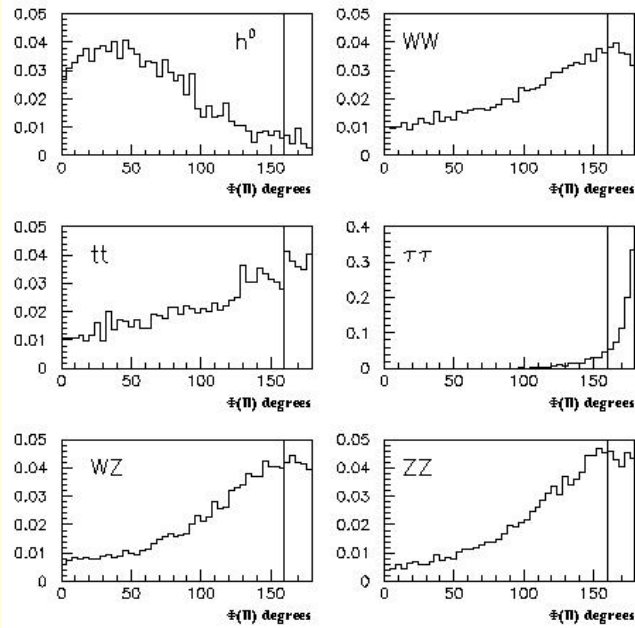
$$\mathcal{L}(\vec{x}) = \frac{\prod_{i=1}^n P_i^S(x_i)}{\sum_{j=S,B} \prod_{i=1}^n P_i^j(x_i)}$$

hypothèse
d'indépendance
des variables

- Représentation:
 - hautes valeurs pour S
 - Coupure en $f(\text{vraisemblance})$



Le canal $H \rightarrow W^* W^* \rightarrow l^+ l^- \nu \bar{\nu}$ (3)



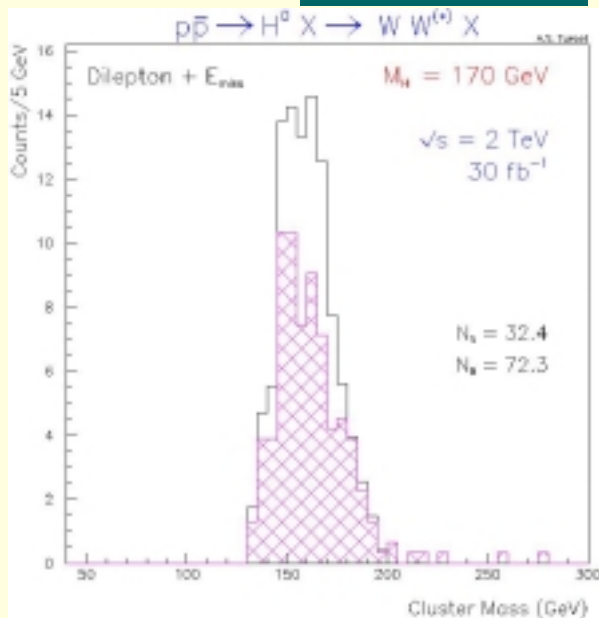
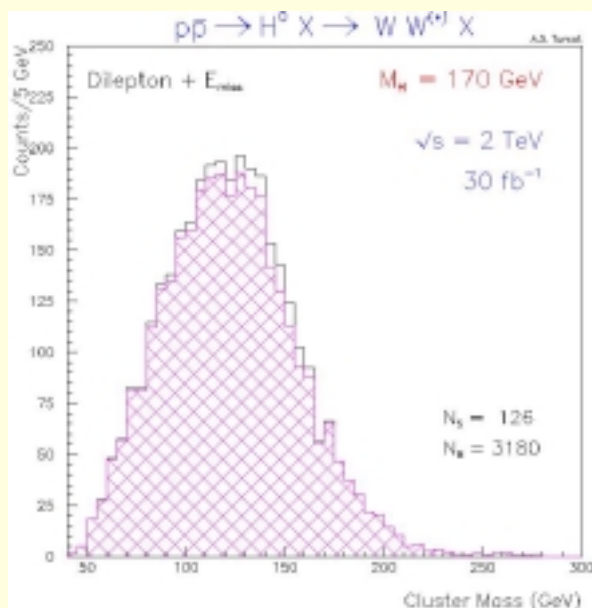
Le canal $H \rightarrow W^* W^* \rightarrow l^+ l^- \nu \bar{\nu}$ (4)

Performances

- Reconstruction de Masse des "clusters":

$$M_C = \sqrt{p_T^2(l) + m^2(l) + m E_T}$$

A.Turcot / BNL



- Résultats pour 1 fb^{-1}

- Fonds dominants:
 - WW, W+faux électrons, tt

$S \sim 1-3 / \text{fb}^{-1}$
 $S/B \sim 10-45\%$
 Pas de distribution m_H

	m_H GeV/ c^2	150	160	170	180
	Signal	2.8	1.5	1.1	1.0
likelihood	S/B(%)	10%	34%	45%	25%
	S/ \sqrt{B}	0.5	0.7	0.7	0.5

Recherche directe du Higgs: Les Higgs SUSY

Higgs neutres $\Phi = h, H, A$

$p\bar{p} \rightarrow \Phi b\bar{b} \rightarrow b\bar{b}b\bar{b}$

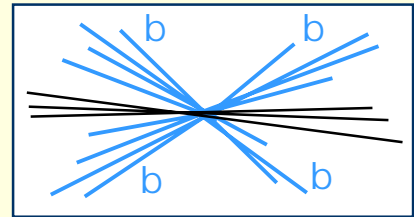
Higgs Chargés H^\pm

$p\bar{p} \rightarrow t\bar{t}$ avec $t \rightarrow H^+ b$

Higgs SUSY: $p\bar{p} \rightarrow b\bar{b}\phi \rightarrow b\bar{b}b\bar{b}$

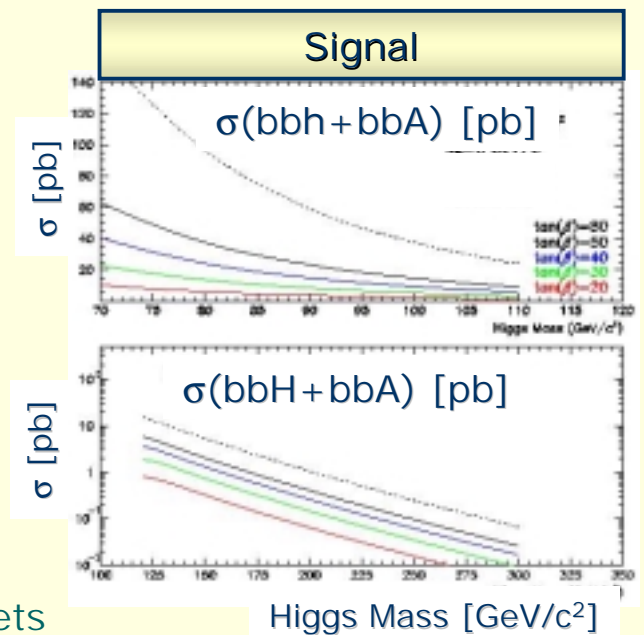
Caractéristiques

- Topologie Signal $\Phi=h,H,A$
 - 4 jets de b
 - 2 jets provenant de Φ



- Sections efficaces:

Fonds	$\sigma \times BR$ [pb]
qq,gg \rightarrow bbbb	2.40
pp \rightarrow Zbb	0.49
pp \rightarrow W(jj)bb	2.11
pp \rightarrow bbjj	1610.8



Sélection

- Sélection pour $\phi = h,H,A$
 - Déclenchement multi-jets
 $E_T > 125$ GeV
 - 4 jets de b:
 ≥ 3 jets b-étiquetés
 - Coupures $E_T(j) = f(m_\phi)$
 - Topologie des jets b:
 $\Rightarrow \Delta\Phi(bb)$ (rej. $g \rightarrow bb$)

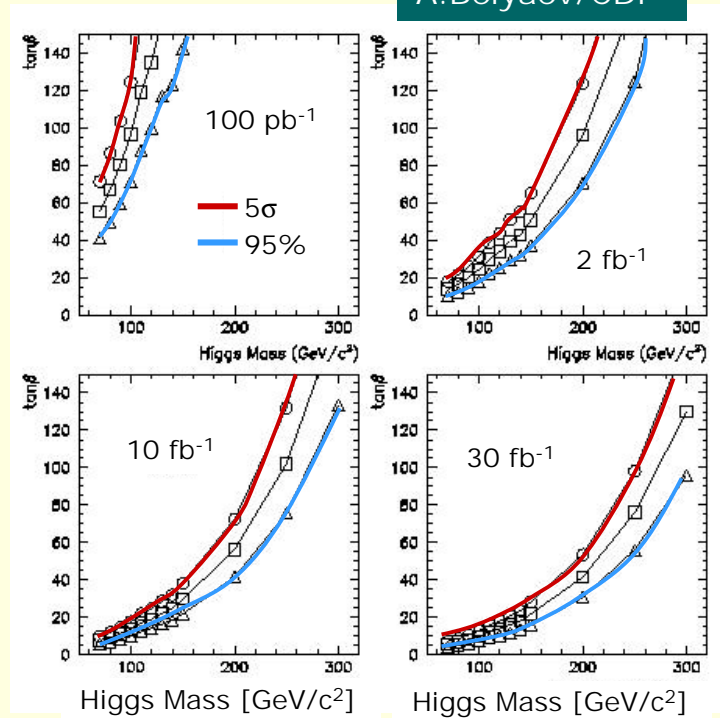
élément crucial

Higgs SUSY: $p\bar{p} \rightarrow b\bar{b}\phi \rightarrow b\bar{b}b\bar{b}$

Performances

- Paramètre-clef: l'étiquetage des b
- Analyses dans le plan $(m_\Phi, \tan\beta)$

A. Belyaev/CDF



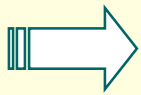
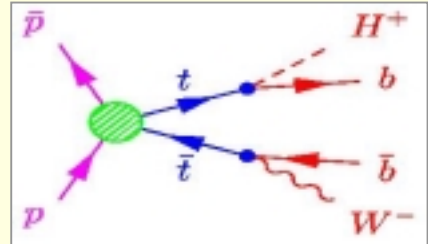
- Résultats attendus pour 1 fb^{-1}

	$m_H \text{ GeV}/c^2$	100	120	150	200
$\tan\beta=1$	Signal	0.012	0.005	----	----
	S/\sqrt{B}	0.0013	0.0006	----	----
$\tan\beta=40$	Signal	41.0	19.1	7.0	1.1
	S/\sqrt{B}	4.5	2.2	1.1	0.3

Higgs Chargés: $p\bar{p} \rightarrow t\bar{t}$ avec $t \rightarrow H^+ b$

Méthode

- Selection paires $p\bar{p} \rightarrow t\bar{t}$
 - Efficacité grande pour: $t\bar{t} \rightarrow W^+ b W^- \bar{b}$
 - Efficacité réduite pour: $t\bar{t} \rightarrow H^+ b W^+ \bar{b}, H^+ b H^- \bar{b}$
- Comparaison de σ_{mes} avec σ_{theo}
 - Fonction de $(m_H, \tan\beta)$



Si accord σ_{mes} VS $\sigma_{\text{theorique}}$
 \Rightarrow exclusion des régions de $BR(t \rightarrow H^+ b)$ élevée

Sélection

- Deux analyses: $t\bar{t} \rightarrow W^+ b W^+ \bar{b}$
 - $WW \rightarrow \bar{l}\nu l\nu$
 - $WW \rightarrow l\nu jj$
- Variables discriminantes:
 - ≥ 1 lepton haut p_T
 - énergie manquante mE_T
 - énergie des jets E_T
 - Aplanarité
 - Energie totale hadronique H_T

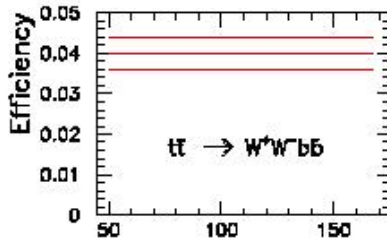
Fonds à $t\bar{t} \rightarrow W^+ b W^+ b$

$t\bar{t} \rightarrow H^+ H^- b \bar{b}$
 $\rightarrow cs cs$
 $\rightarrow \tau\nu \tau\nu$
 $\rightarrow Wbb Wbb$
 $\rightarrow Wbb \tau\nu$
 $\rightarrow Wbb cs$
 $\rightarrow \tau\nu cs$
 $t\bar{t} \rightarrow W^+ H^- b \bar{b}$
 $\rightarrow cs$
 $\rightarrow \tau\nu$
 $\rightarrow W^- bb$

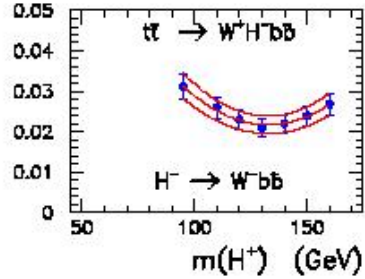
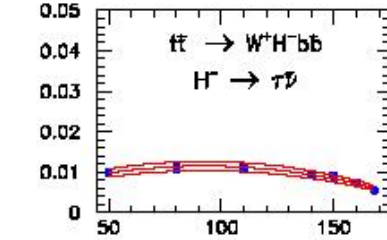
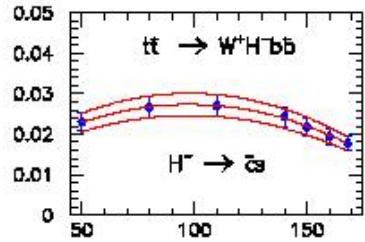
Higgs Chargés: $p\bar{p} \rightarrow t\bar{t}$ avec $t \rightarrow H^+ b$

$$t\bar{t} \rightarrow W^+ H^- b\bar{b}$$

- $\rightarrow c\bar{s}$
- $\rightarrow \tau^+ \nu$
- $\rightarrow W^+ b\bar{b}$

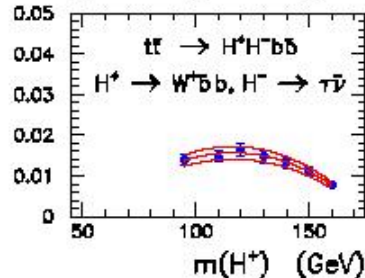
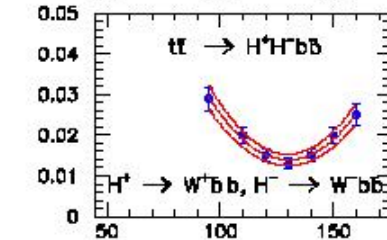
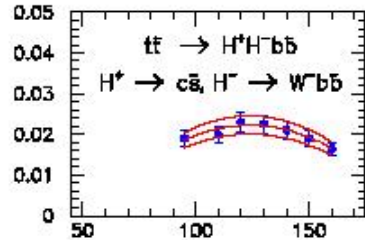
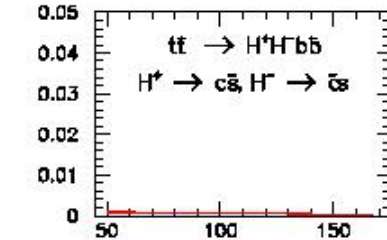
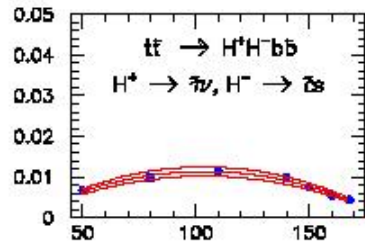
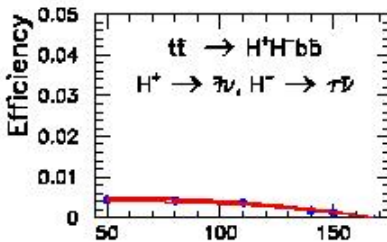


D. Chakraborty/Fnal



$$t\bar{t} \rightarrow H^+ H^- b\bar{b}$$

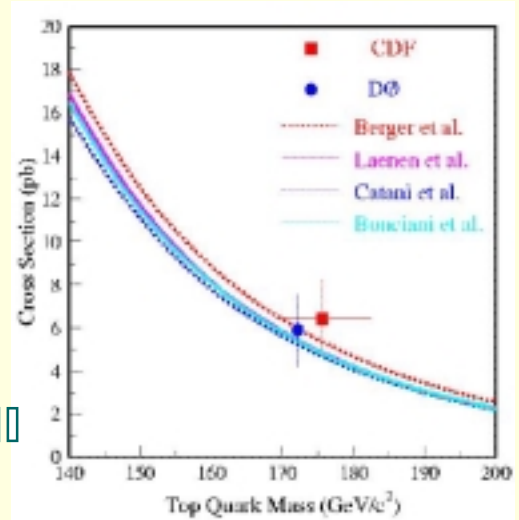
- $\rightarrow c\bar{s} \bar{c}s$
- $\rightarrow \tau^+ \nu \bar{\tau} \nu$
- $\rightarrow W b\bar{b} W b\bar{b}$
- $\rightarrow W b\bar{b} \tau \nu$
- $\rightarrow W b\bar{b} c\bar{s}$
- $\rightarrow \tau \nu c\bar{s}$



Higgs Chargés: $p\bar{p} \rightarrow t\bar{t}$ avec $t \rightarrow H^+ b$

Paramètres clefs

- Efficacité / désintégrations Higgs:
 - plus petite (ex cs: pas de lepton de haut p_T etc..)
 - combinée pour tous canaux en $f(m_H, \tan\beta)$
- Étiquetage des b
- Connaissance de:
 - $\sigma_{\text{theo}}(t\bar{t} \rightarrow WbW\bar{b})$ ←



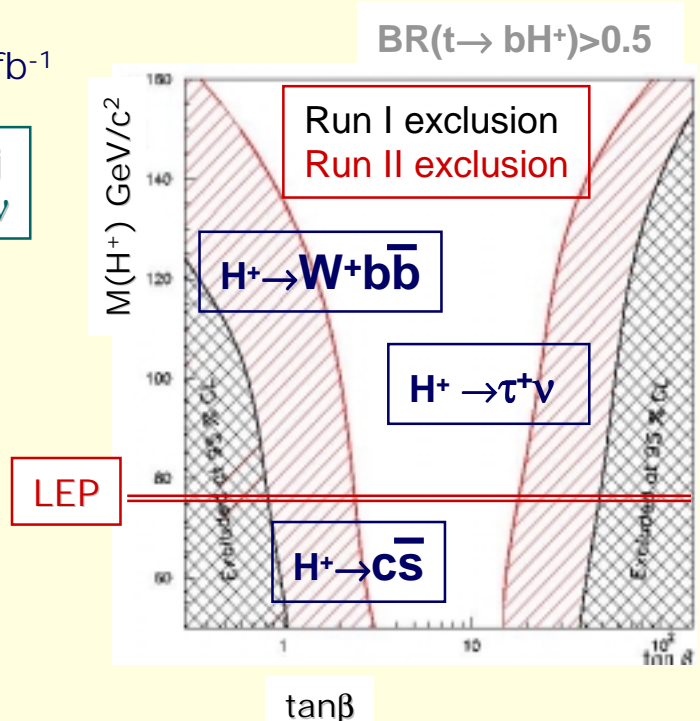
Performances

- Paires $t\bar{t}$ attendues /exp/1fb⁻¹

~1,900 $t\bar{t} \rightarrow WbW\bar{b} \rightarrow b\bar{v}b\bar{j}j$
~200 $t\bar{t} \rightarrow WbW\bar{b} \rightarrow b\bar{v}b\bar{v}$

Dans le MS !

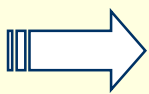
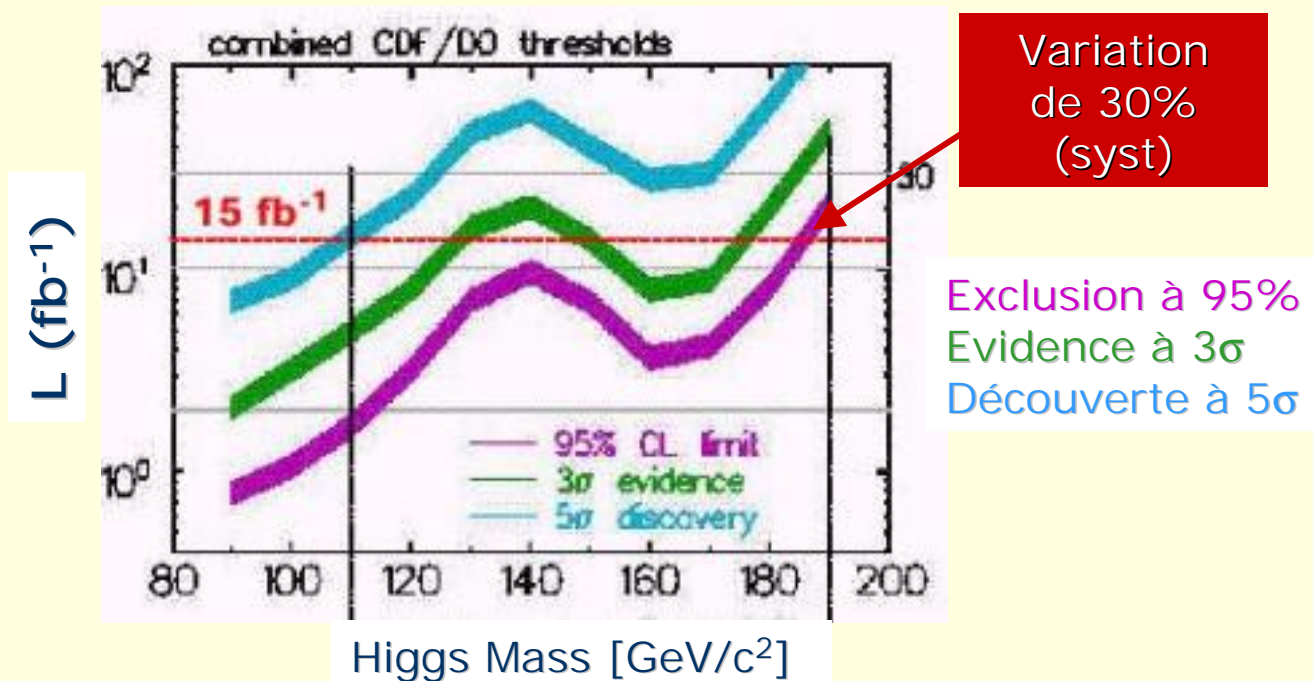
- Résultats pour 2 fb⁻¹:



Les perspectives...

Résultats

- Luminosité requise pour exclusion / découverte



Exclusion à 95% : jusqu'à $m_H = 180 \text{ GeV}/c^2$
Découverte à 5 σ : jusqu'à $m_H \sim 115 \text{ GeV}/c^2$

Attention: études basées sur des hypothèses optimistes:

- résolution $M(\text{bb})$ améliorée de 30% vs Run I
- efficacité d'étiquetage +50% vs Run I
- bonne connaissance des fonds irréductibles

...et de bonnes raisons d'y croire

inspiré de P. Janot / Blois 99

Luminosité effective L_{eff} sur le Higgs ...

Moyen	Effet / L_{eff}	Effet cumulé
Collisionneur <ul style="list-style-type: none">– Luminosité $L = 15 \text{ fb}^{-1}$– 2 expériences– Energie $\sqrt{s} = 2 \text{ TeV}$	$\times 150$ $\times 2$ $\times 1.2$	$\times 360$
Détecteurs <ul style="list-style-type: none">– Acceptance géométrique– Efficacité déclenchement– Efficacité b-tag– Résolution sur $M(jj)$	$\times 1.3$ $\times 1.5$ $\times 1.4$ $\times 1.3$	$\times 3.5$
Analyse <ul style="list-style-type: none">– Réseaux NN	$\times 1.3$	$\times 1.3$
TOTAL		$\times 1640$

...Gain de sensibilité d'1 facteur 1640 !

....What about $m_H = 115$ GeV ?

MORIOND QCD 2001

- **If Higgs is indeed here:**

- Signal Evidence requires
 - $\sim 5 \text{ fb}^{-1}$ with 3 standard evidence (2004-5)
- Expected number of events
 - per experiment with 15 fb^{-1} (2007)

<i>Mode</i>	<i>Signal</i>	<i>Background</i>	<i>S/\sqrt{B}</i>
<i>lνbb</i>	92	450	4.3
<i>$\nu\nu$bb</i>	90	880	3.0
<i>llbb</i>	10	44	1.5

- If we do see something, we need to measure:
 - its Mass
 - Its production cross-section
 - Can we see $H \rightarrow \tau\tau$ (BR $\sim 8\%$) ?
 - Can we see $H \rightarrow W^*W^*$ (BR $\sim 5\%$) ?

- **If Higgs is not here:**

- we can exclude a $m_H = 115$ GeV Higgs
 - at 95% CL with 2 fb^{-1} (2003)

Contraintes indirectes sur le Higgs

Le Higgs et les observables du SM

- Paramètres du Modèle Standard
- Lien entre m_H et m_t , m_W , $\sin^2\theta_W^{\text{eff}}$

Les contraintes sur m_H

- Mesures de m_t
- Mesures de m_W
- Bilan

Paramètres fondamentaux dans le MS

Les paramètres fondamentaux du MS

- Choix des paramètres les mieux connus expérimentalement
- Prédications à partir de:

Paramètre	Désignation	
G_μ	Constante de Fermi	
$\alpha(0)$	Constante structure fine	Ordre 0
M_Z	Masse du boson Z	de la théorie
m_f	Masses des fermions (x6)	Corrections radiatives
m_H	Masse du Higgs	

Les corrections radiatives

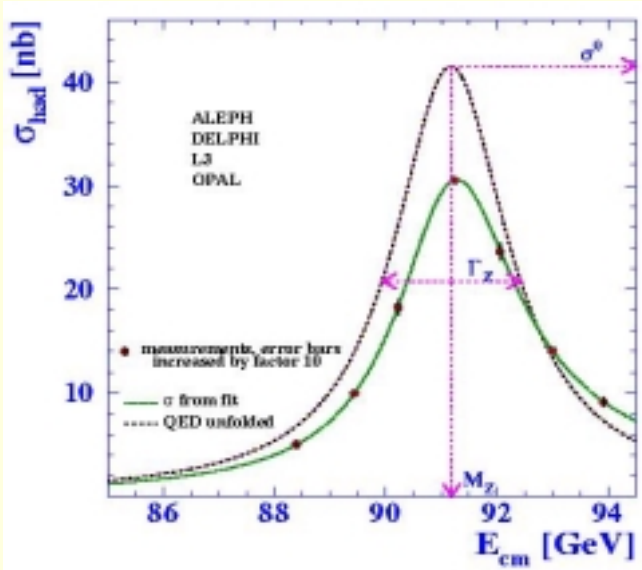
- Formalisme des "couplages effectifs" (LEP+SLC)

$$\alpha_{em}(s), \rho(\equiv m_W^2/m_Z^2 \cos^2\theta_W), \sin^2\theta_W^{eff}(g_V, g_A)$$

Définition	Dépendance en m_t et m_H
$\rho \approx 1 + \Delta\rho =$ $1 + \frac{\alpha}{\pi} \frac{m_t^2}{m_Z^2}$ $- \frac{\alpha}{4\pi} \ln(m_H^2/m_W^2)$	
$\sin^2\theta_W^{eff} \equiv \frac{1}{4}(1 - g_V^I/g_A^I)$	$g_A^I = -1/2 \sqrt{1 - \Delta\rho}$ $g_V^I = g_A^I(1 - 4 \sin^2\theta_W^{eff})$

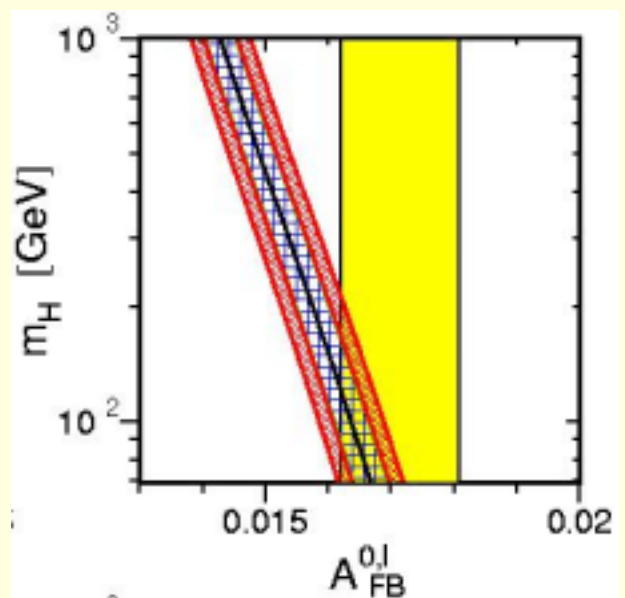
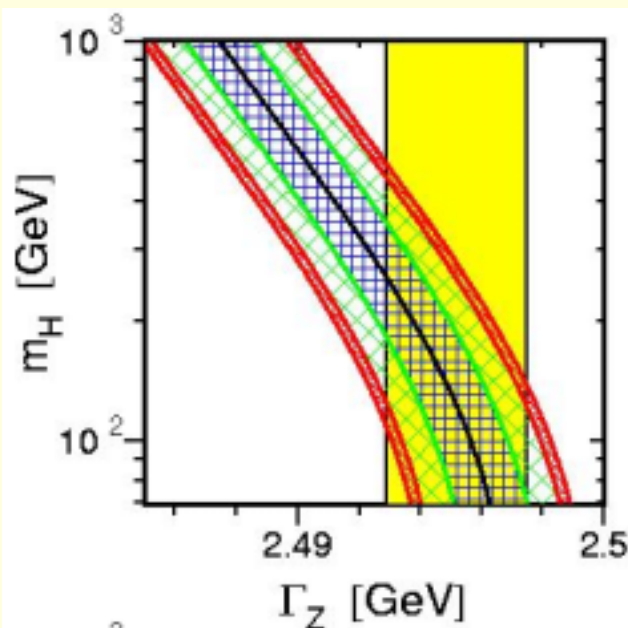
Observables du MS: lineshape

Observables au pôle du Z



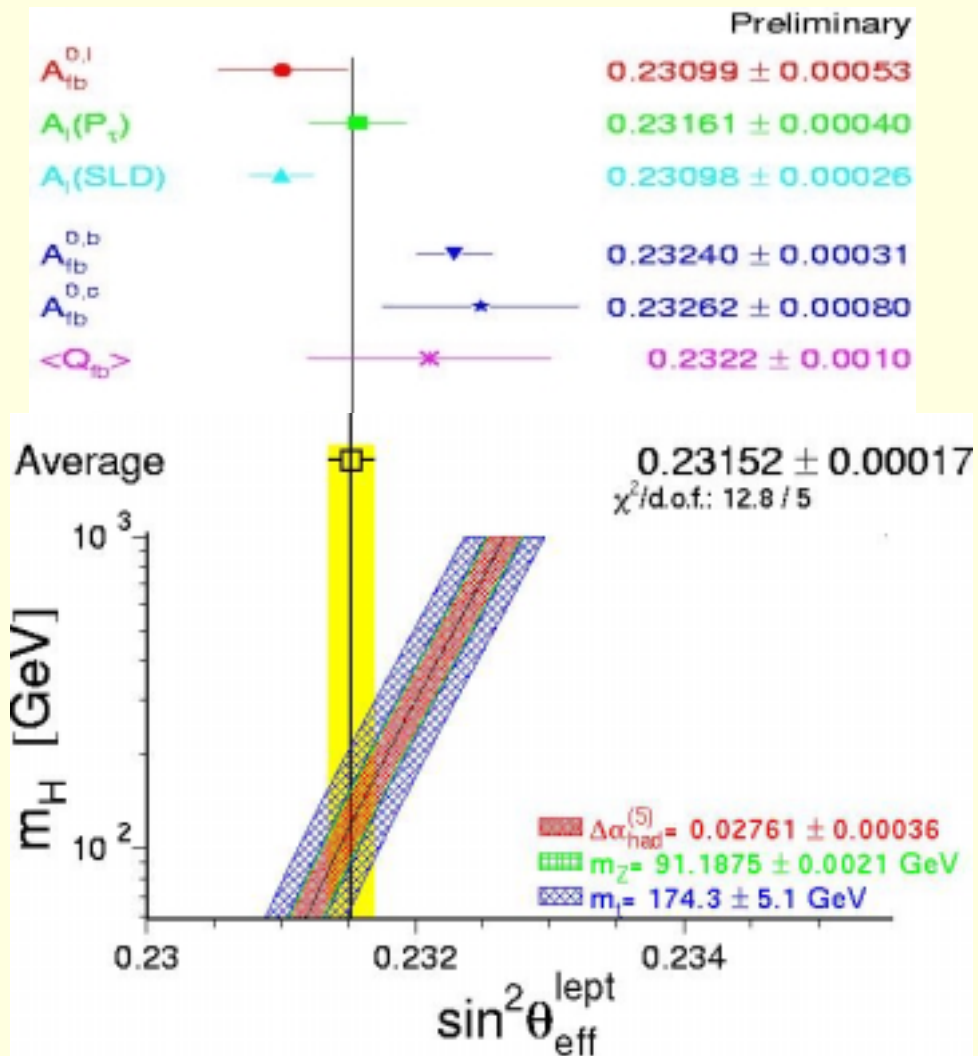
Observable	Role
M_Z	input
Γ_Z	$\Delta\rho$
σ^0_{had}	$N_V \Gamma_{inv} / \Gamma_I$
$\Gamma_{had} / \Gamma_{lep}$	$\sin^2\theta_W^{eff}$
A_{FB}^{0l}	$\sin^2\theta_W^{ef}$

Contraintes sur m_H dans le MS



Observables du MS: $\sin^2\theta_W^{\text{eff}}$

Observables au pôle du Z



Observables du MS: m_W

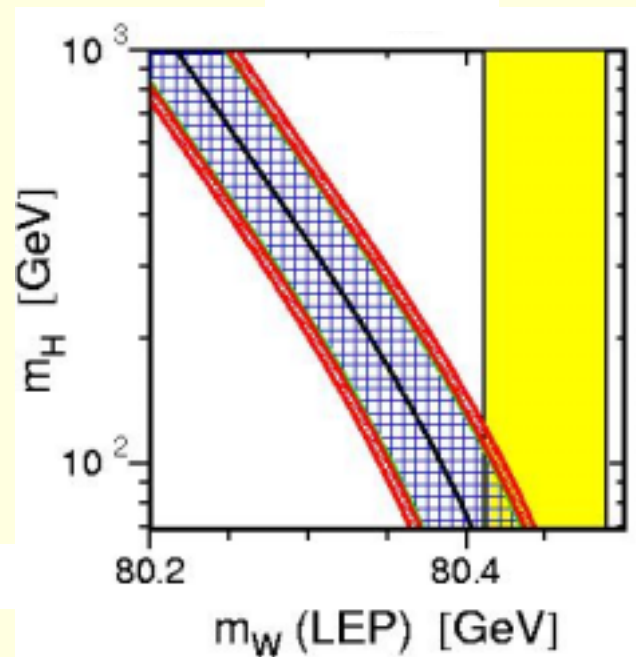
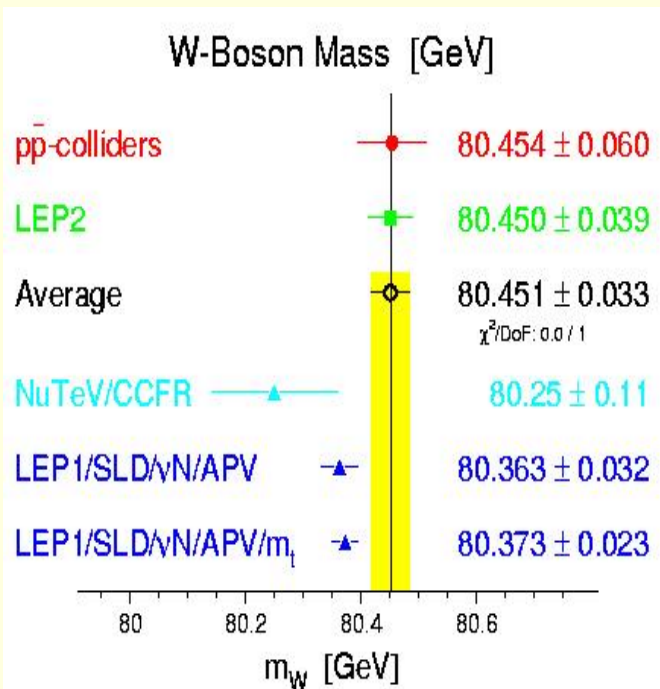
Détermination de m_W

- Indirecte (MS):
 - Ajustement données LEP I + SLD + νN + m_t

⇒ $m_W = 80.373 \pm 0.023 \text{ GeV}/c^2$

- Directe:
 - Mesure LEP II
 - Mesure TeVatron

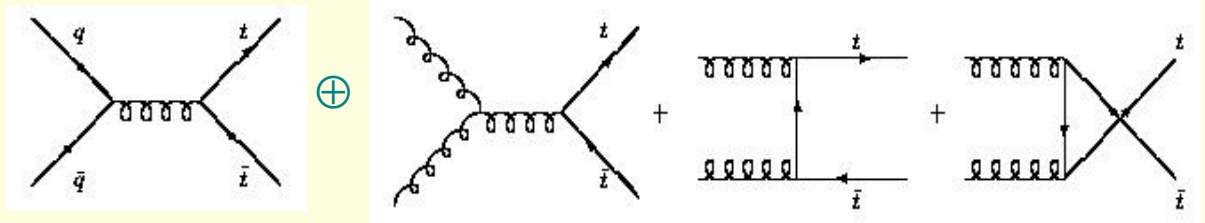
⇒ $m_W = 80.450 \pm 0.033 \text{ GeV}/c^2$



Le Quark Top au TeVatron

Production de paires de quarks Top

- annihilation de quarks \oplus fusion de gluons



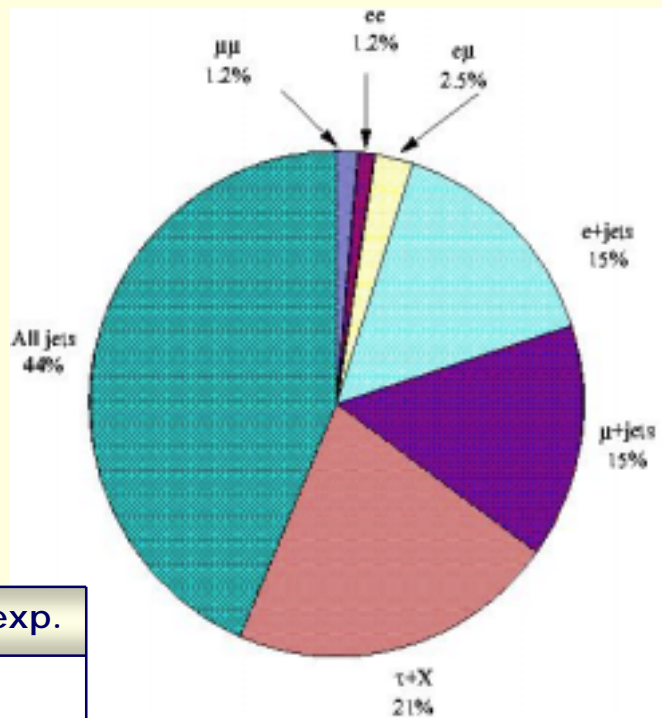
- Section efficace de production:

- $\sigma_{tt} = 5.5 \text{ pb} / 1.8 \text{ TeV}$
- $\sigma_{tt} = 7.5 \text{ pb} / 2.0 \text{ TeV}$

Désintégrations du Top

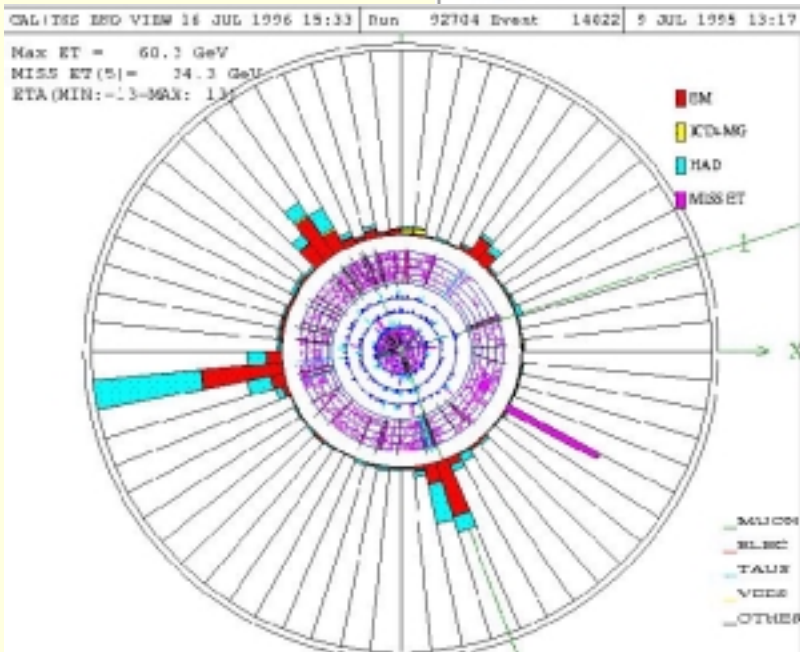
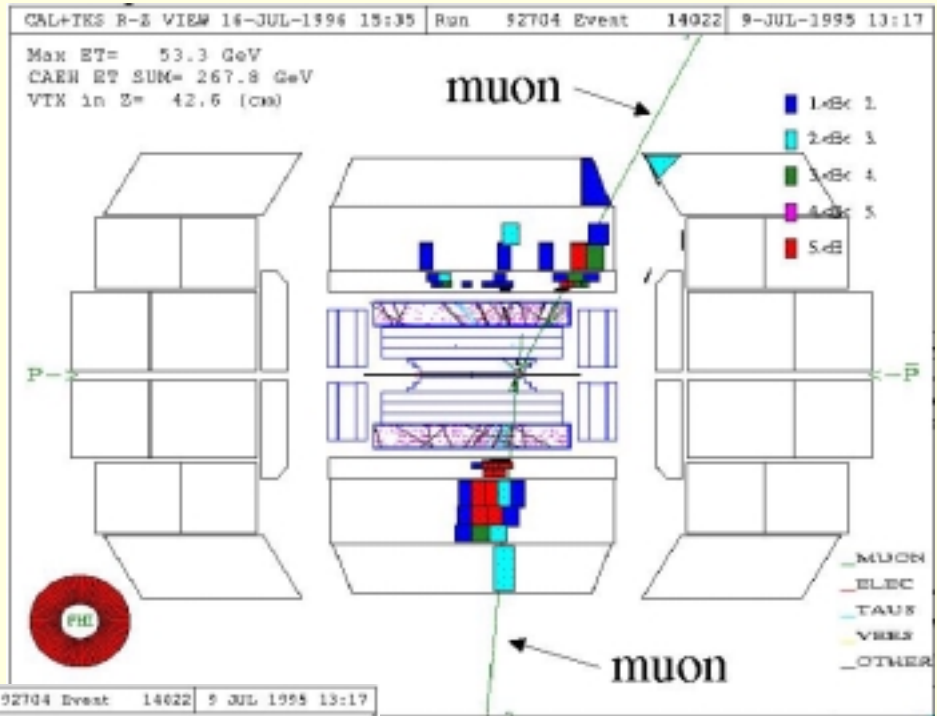
- Classification états finaux:

- $bjj + blv \Rightarrow$ "jets+leptons"
- $blv + blv \Rightarrow$ "di-leptons"
- $bjj + bjj \Rightarrow$ "all-jets"



Processus	Canal	$1 \text{ fb}^{-1}/\text{exp.}$
tt+X	di-lepton	100
	$l+\geq 4\text{jets}$	900
	$l+\geq 4\text{jets}/b\text{-tag}$	700
t+X	$l+\geq 4\text{jets}/bb\text{-tag}$	300
		170

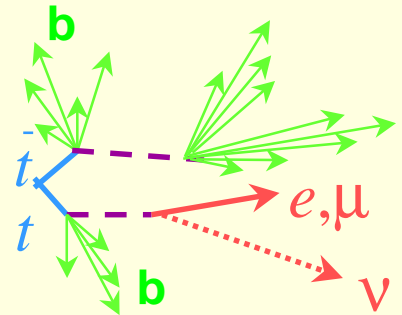
Le Quark Top au TeVatron



Masse du Top: "lepton+jets"

Sélection des événements (type "Run I")

- 1 lepton isolé, \cancel{e}
- ≥ 4 jets "leading jets"
- Etiquetage du b
- Ajustement cinématique (2C):
 - 24 variables, 1 libre
 - 3 contraintes:
 - $M(l\nu) = M_W$, $M(qq') = M_W$
 - $M(lvb) = M(bqq')$
- \Rightarrow combinaison de meilleur m_{fit} , χ^2
- Fonction de vraisemblance:
 - densité probabilité $D = \Pi S/B$ per evt



"centralité"

$$x_1 = \cancel{E}_T$$

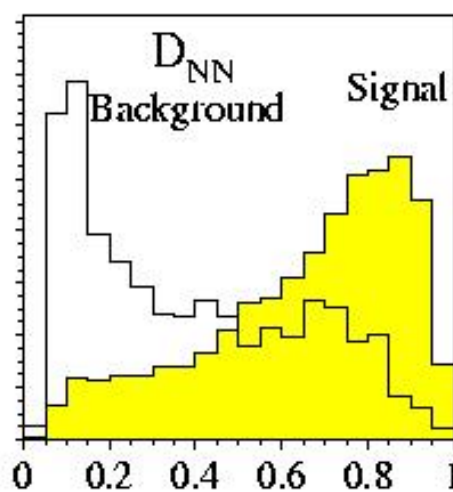
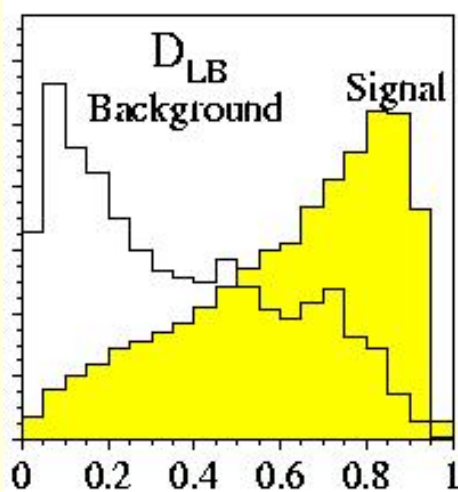
$$x_3 = \frac{H_{T2} \equiv H_T - E_T^{\text{jet } i}}{|p_z(l)| + |p_z(\nu)| + \sum_j |p_z(j)|}$$

$$x_2 = A$$

$$x_4 = \frac{\Delta R_{jj}^{\text{min}} E_T^{\text{min}}}{E_T^L}$$

"Aplanarité"

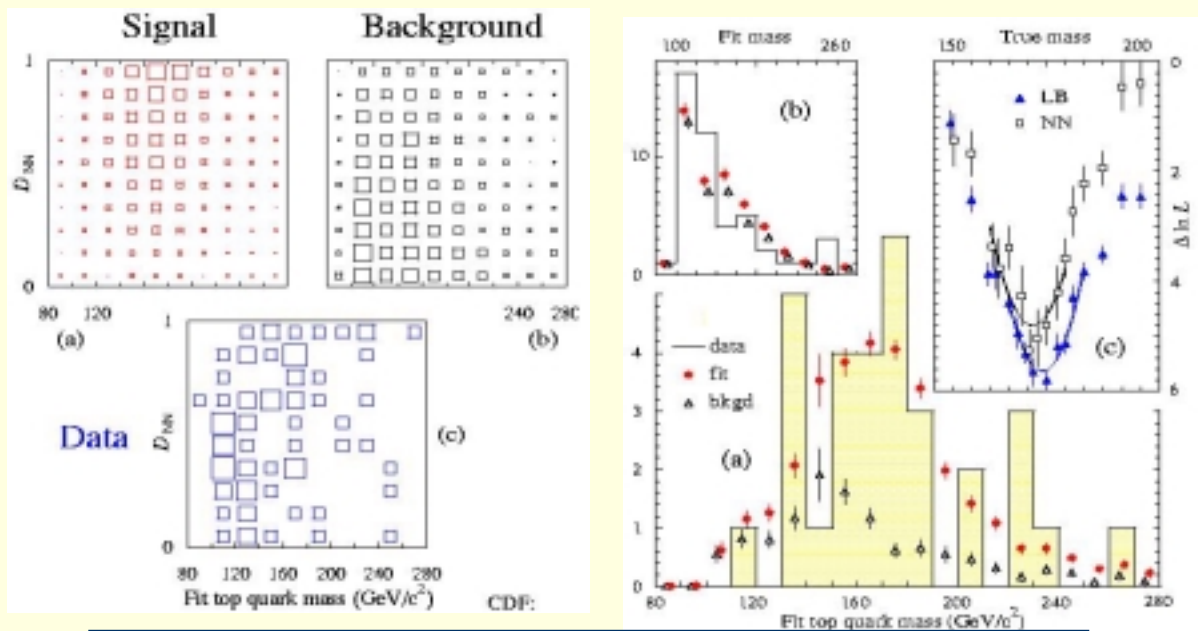
"vs gluon rad"



Masse du Top: "lepton+jets"

Détermination de m_t (hep-ex/9801025)

- Ajustement likelihood $L(m_t) = D/1+D$ dans le plan (m_t, D)
- 91 événements (7 b-tags)



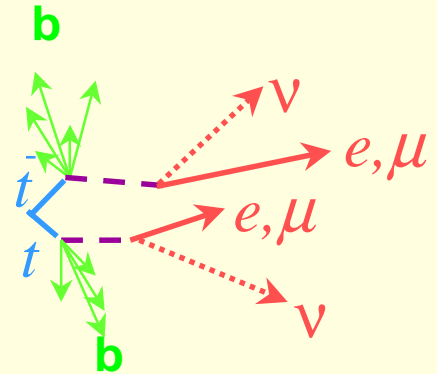
$$m_t = 173 \pm 5.6(\text{stat}) \pm 5.4(\text{syst}) \text{ GeV}/c^2$$

Systematiques	Δm_t (GeV/c ²)
Echelle d'énergie Jet	4.0
Fond W+jets	2.5
tt QCD radiation	1.9
Bruit & int. multiples	1.3
MC statistique	0.9
Fit Likelihood	1.0
TOTAL	5.5

Masse du Top: "di-leptons"

Sélection des événements

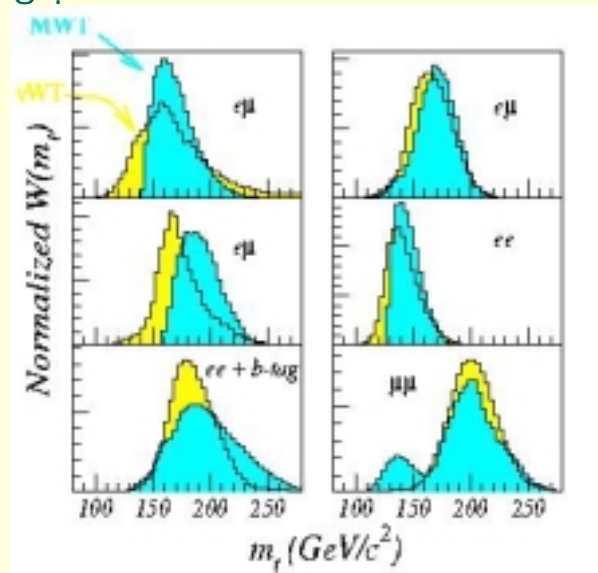
- 2 leptons isolés + Energie manquante
 - Ajustement Cinématique:
 - 24 variables, 4 libres (2v)
 - 3 contraintes : (-1C)
 - $M(l\nu) = M_W$, $M(l'\nu') = M_W$
 - $M(bl\nu) = M(bl'\nu')$
- ⇒ solution en supposant connue m_t



- Fonction de Vraisemblance: $P(m_t | \{o_i\}) \propto P(\{o_i\} | m_t)$
 - de la cinématique & espace des phases de tt
 - des variables cinématiques $\{o_i\}$ (MC)
 - des fonction de résolution du détecteurs
 - de l'assignation des jets
- ... consommateur de temps CPU !

- Modélisation simplifiée:
 - Variables des neutrinos (vWT)
 - ⇒ poids W fonction de m_t
 - Pondération Element de Matrice (MWT)

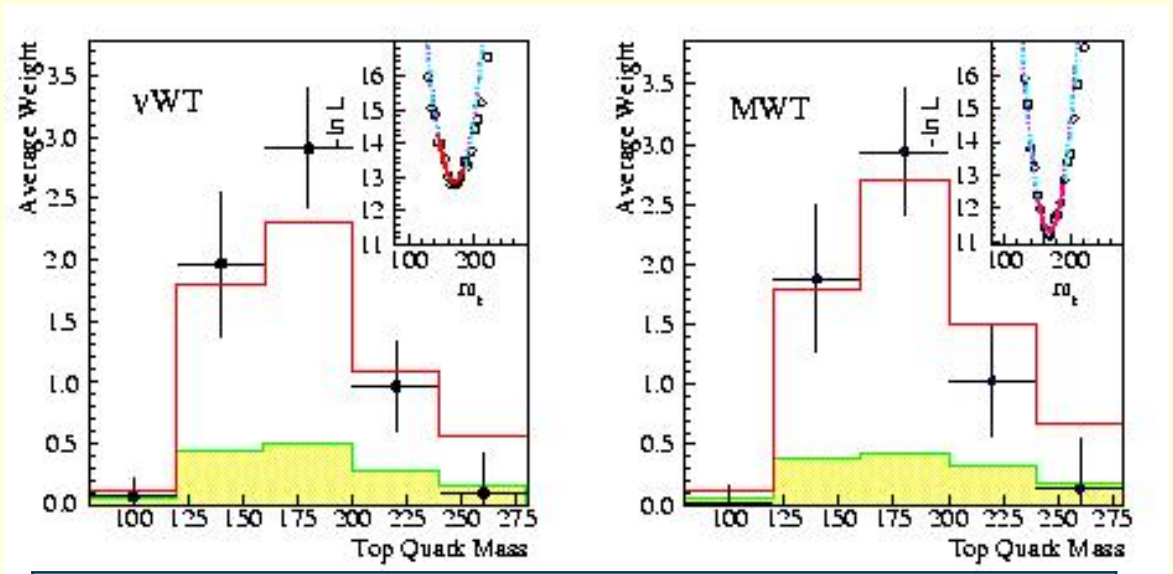
- Data vs MC(signal+fonds)



Masse du Top: "di-leptons"

Détermination de m_t (Abott et al., hep-ex/980829)

- Ajustement likelihood $-\ln L(m_t)$
- 6 evts (2 ee, 3 e μ , 1 $\mu\mu$)



$$m_t = 168.4 \pm 12.3(\text{stat}) \pm 3.6(\text{syst}) \text{ GeV}/c^2$$

Systematique	Δm_t (GeV/c ²)
Echelle d'énergie Jet	2.4
Générateur Fond	1.8
Générateur Signal	1.1
Bruit & int. multiples	1.3
Fit Likelihood	1.1
MC statistique	0.3
TOTAL	3.6

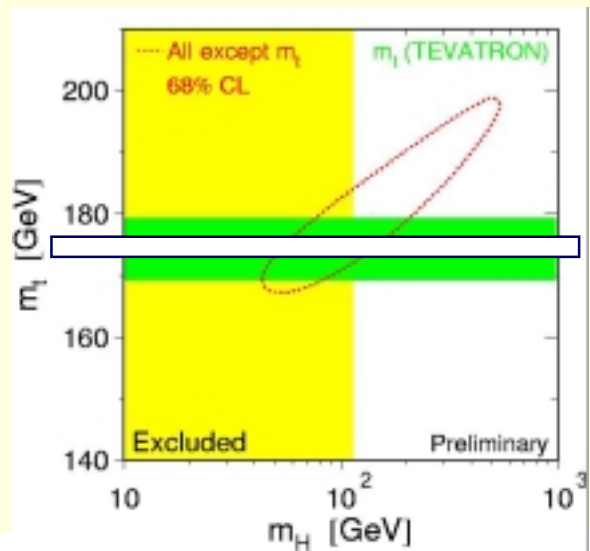
Masse du Top au Run II

Perspectives au Run II

- Capacité de sélections accrues:
 - Calibration des jets p_T utilisant les data:
 - Z +jets , γ +jets, $W \rightarrow \text{jet jet}$, $Z \rightarrow b\bar{b}$
 - Contraintes simulations par data
 - Meilleure identification des e/μ
 - Meilleure systématique avec double-étiquetage du b

Incertitudes	Run I	Run II (2 fb ⁻¹)
Energie Jet	4.0 GeV	2.2 GeV
Générateur Fond	2.5 GeV	0.7 GeV
Générateur Signal	1.9 GeV	0.4 GeV
Ajust. Likelihood	1.1 GeV	0.3 GeV
Systematiques	5.5 GeV	2.3 GeV
Statistitiques	5.6 GeV	1.3 GeV
TOTAL	7.8 GeV	2.7 GeV <small>LEP</small>

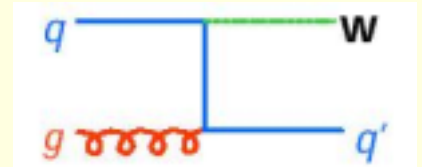
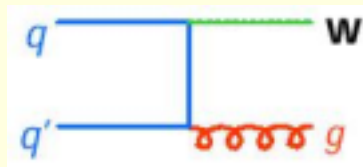
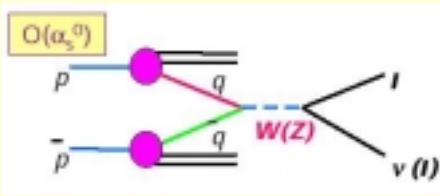
[2 fb⁻¹] : $\Delta m_t = 2.7 \text{ GeV}/c^2$
 [15 fb⁻¹] : $\Delta m_t = 1.5 \text{ GeV}/c^2$



Production des bosons W/Z

Production des bosons

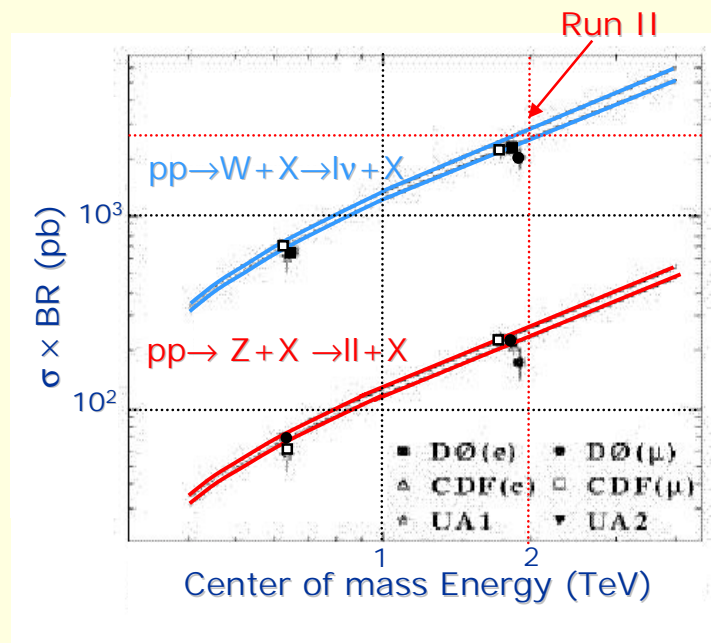
- Graphes d'annihilation/échange:



- Sections efficaces :
 $\sigma(pp \rightarrow W+X) \sim 7 \text{ nb}$
 $\sigma(pp \rightarrow Z+X) \sim 0.2 \text{ nb}$

- Modes utilisés au Run II:
 $W \rightarrow e\nu, \mu\nu$ ($\sim 11\%$)
 $Z \rightarrow ee, \mu\mu$ ($\sim 3\%$)
 $Z \rightarrow bb$ ($\sim 15\%$)

- Statistique attendue



Processus	Run I	Run II /1 fb ⁻¹
$pp \rightarrow W(\rightarrow l\nu)+X$	70×10^3	1.6×10^6
$pp \rightarrow Z(\rightarrow ll)+X$?	0.16×10^6
$pp \rightarrow WW, WZ, ZZ (\geq 2l)$?	150

Masse du boson W au Run I

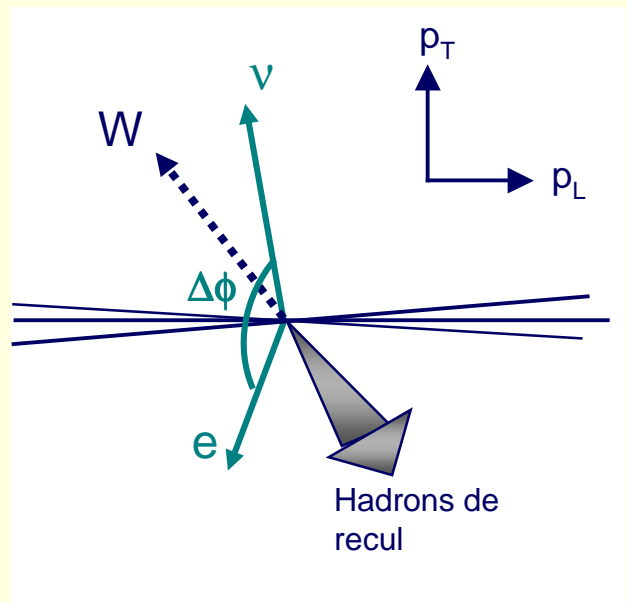
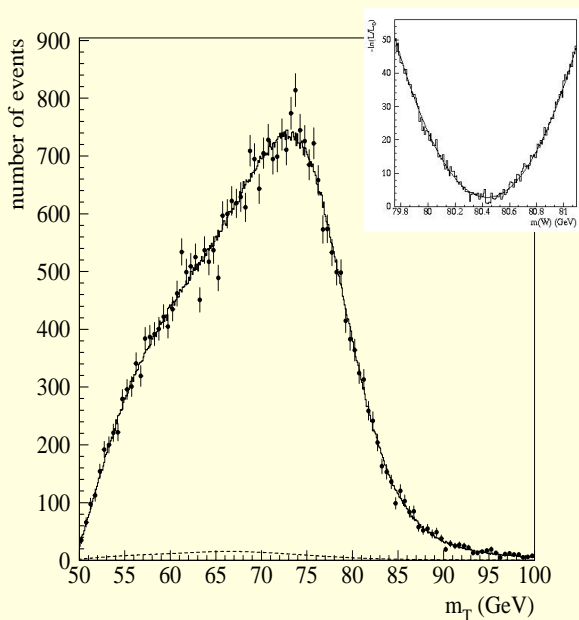
Mesures de m_W

- Masse transverse:

$$M_W^T = \sqrt{2 P_T^e P_T^\nu (1 - \cos \Delta\phi)}$$

- Résultats DØ:

$$m_W = 80.48 \pm 0.09 \text{ GeV}/c^2$$



Incertitudes	Run I
Statistiques	65 MeV
Energie Jet	75 MeV
Recul (Modèle)	37 MeV
Résolution Detecteur	25 MeV
PDF's	15 MeV
$P_T(W)$	15 MeV
TOTAL	92 MeV

Masse du boson W au Run II

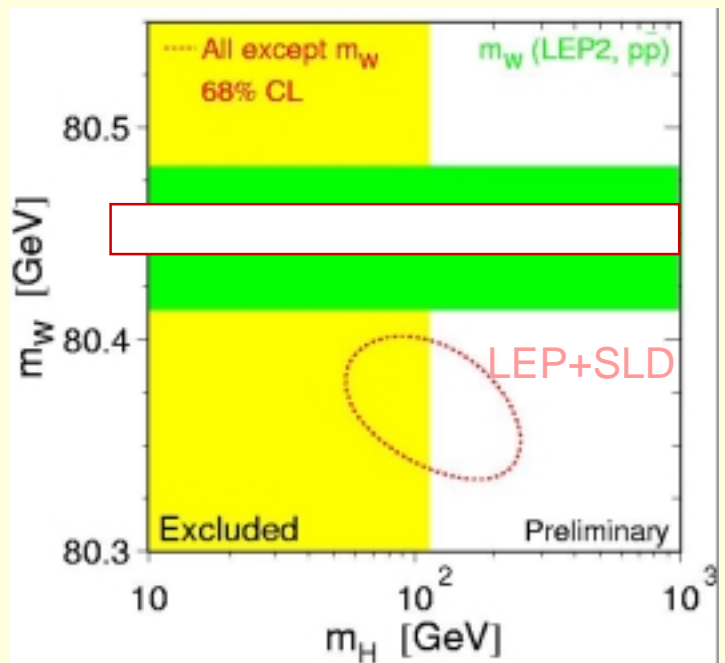
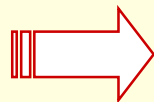
Perspectives au Run II

- Statistiques:
 - Diminue à < 20 MeV (limité par # int./croisement)
- Résolution & réponse du détecteur:
 - Taille des échantillons de calibration (Z, J/ Ψ , Y)
- Modèle de production Monte Carlo:
 - Contrainte des fonctions de structure partoniques (pdf)
 - Contrainte sur la production de W, Z visible (spectre $p_T^{W/Z}$)
- Autres options pour la mesure de m_W
 - Masse à partir du spectre en p_T de l'électron (sensible à p_T^W)
 - mesure du rapport M_T^W / M_T^Z (utilise LEP, sensible à l'acceptance du neutrino)

- Projections:

$$[2 \text{ fb}^{-1}] : \Delta m_W = 40 \text{ MeV}/c^2$$

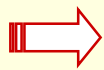
$$[15 \text{ fb}^{-1}] : \Delta m_W = 15 \text{ MeV}/c^2$$



Contraintes indirectes sur m_H

Projection sur m_H

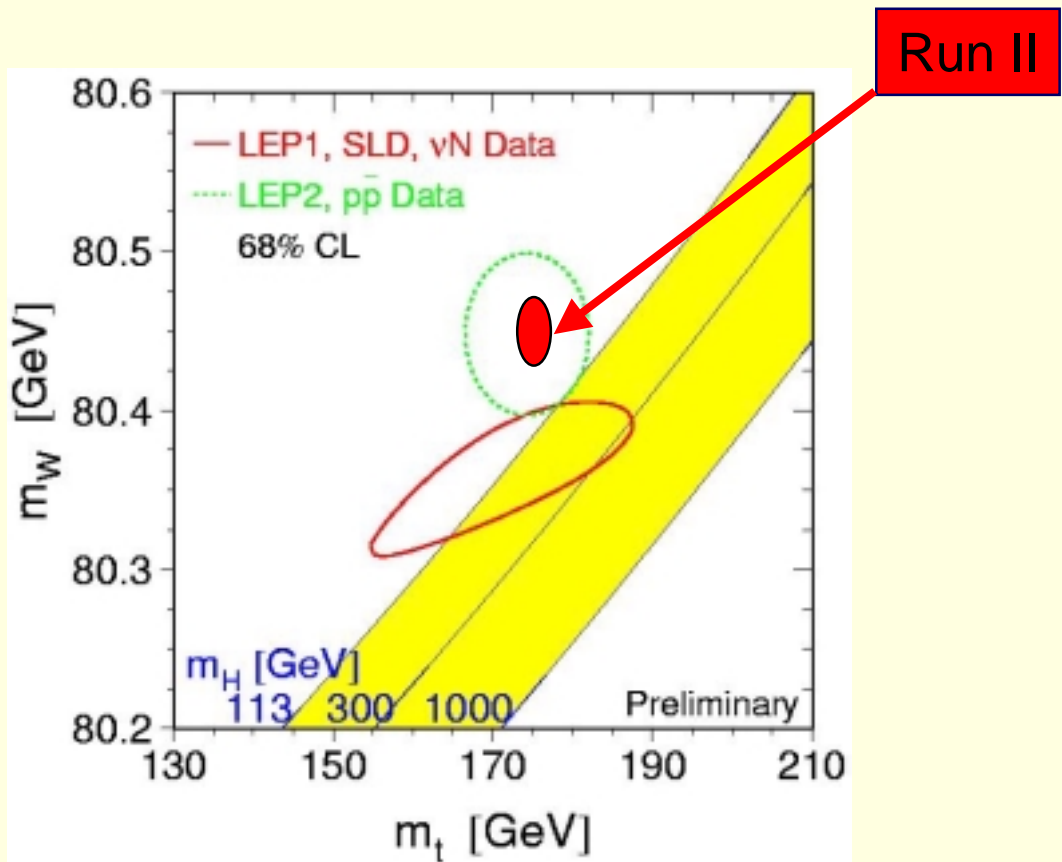
- Mesures des masses m_t, m_W au TeVatron (15fb^{-1})



$$\Delta m_W = 15 \text{ MeV}/c^2$$

$$\Delta m_t = 1.5 \text{ GeV}/c^2$$

- Vérification de la cohérence des résultats sur m_W
 - Cohérence SLC/LEP des mesures de $\sin^2\theta_W^{\text{eff}}$
 - Cohérences des mesures quarks lourds / lepton



Conclusion Générale

Le Run II du TeVatron était **initialement** destiné:

- aux mesures de précision
- à la Physique du B
- à la recherche de signes de SUSY

Néanmoins....

... un Run haute luminosité est prometteur pr le Higgs

- Le collisionneur a été profondément remanié:
 - Luminosité prévue de 15 fb^{-1} / expérience / 2007
 - Energie de collision à 2 TeV
- Les 2 détecteurs ont été significativement améliorées:
 - Meilleurs tracking , Vertexing
 - Meilleures capacités d'identification
 - Capacités de déclenchement accrues
- Des outils spécifiques aux Higgs sont développés:
 - Energie flow / résolution sur $M(jj)$
 - Etiquetage du b
 - Réseaux de neurones / likelihood

...surtout si celui-ci est autour de $115 \text{ GeV}/c^2$!!!

...What about $m_H = 115 \text{ GeV}/c^2$?

MORIOND QCD 2001

- If Higgs is indeed here:

- Signal Evidence requires
 - $\sim 5 \text{ fb}^{-1}$ with 3 standard evidence (2004-5)
- Expected number of events
 - per experiment with 15 fb^{-1} (2007)

<i>Mode</i>	<i>Signal</i>	<i>Background</i>	<i>S/\sqrt{B}</i>
<i>lvbb</i>	92	450	4.3
<i>vvbb</i>	90	880	3.0
<i>llbb</i>	10	44	1.5

- If we do see something, we need to measure:
 - its Mass
 - Its production cross-section
 - Can we see $H \rightarrow \tau\tau$ (BR $\sim 8\%$) ?
 - Can we see $H \rightarrow W^*W^*$ (BR $\sim 5\%$) ?

- If Higgs is not here:

- we can exclude a $m_H = 115 \text{ GeV}$ Higgs
 - at 95% CL with 2 fb^{-1} (2003)